

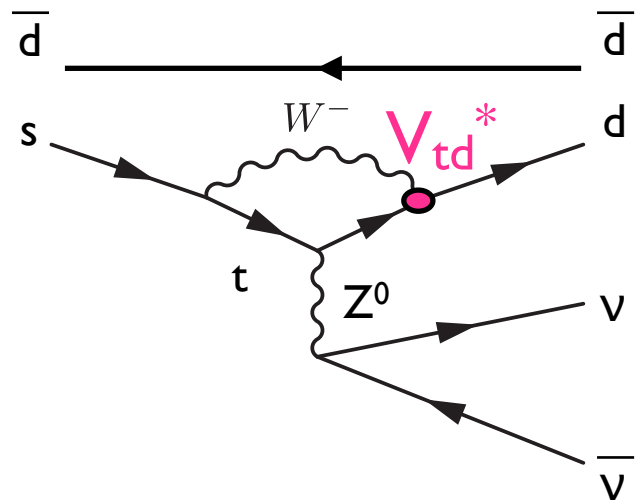
Ke3崩壊で生成されるelectronを用いた KOTO実験CsIカロリメータのCalibration (解析の現状と問題点)

大阪大学 佐藤和史

関西高エネルギーグループ研究発表会 **25 Mar. 2011**

$$K_L \rightarrow \pi^0 \bar{v}v$$

KOTO実験：J-PARCで予定される $\text{Br}(K_L \rightarrow \pi^0 \bar{v}v)$ を測定する実験



SMではCP対称性の破れはCKM行列
の複素成分($\text{Im}(V_{td})$)によって引き起こされる

$$\text{Br}(K_L \rightarrow \pi^0 \bar{v}v) \propto |\text{Im}(V_{td})|^2$$

☆ theoretical uncertainty $1\sim 2\%$

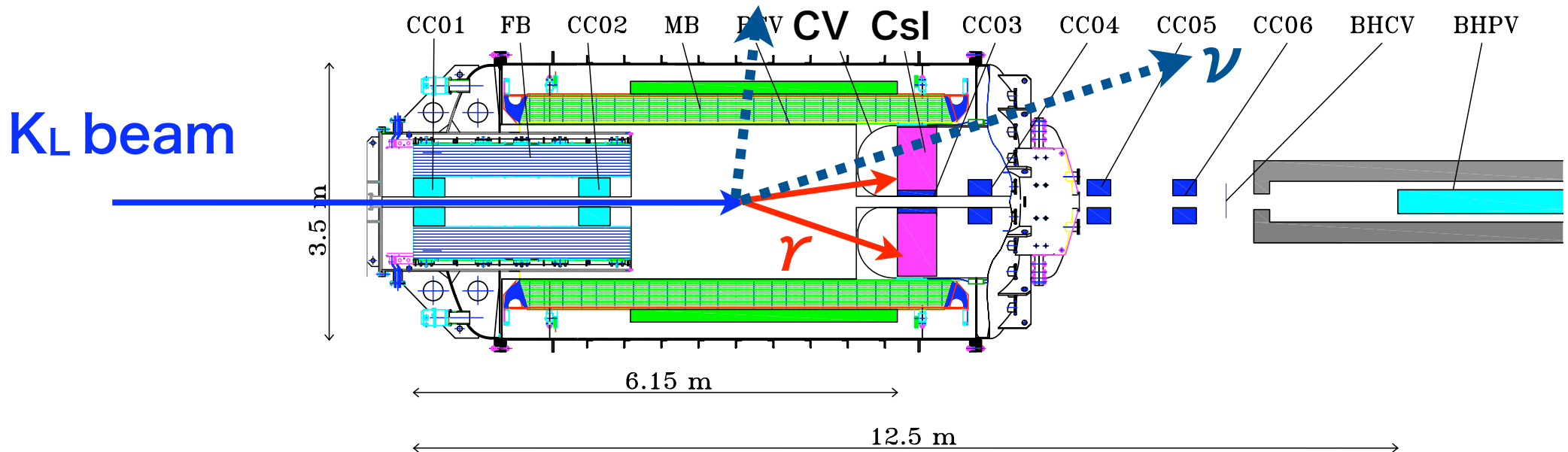
⇒ Clean process !

☆ SMの予測値 $\text{Br}(K_L \rightarrow \pi^0 \bar{v}v) = 3 \times 10^{-11}$

⇒ SMを越える物理に感度がある

⇒ background事象をどう抑えるか

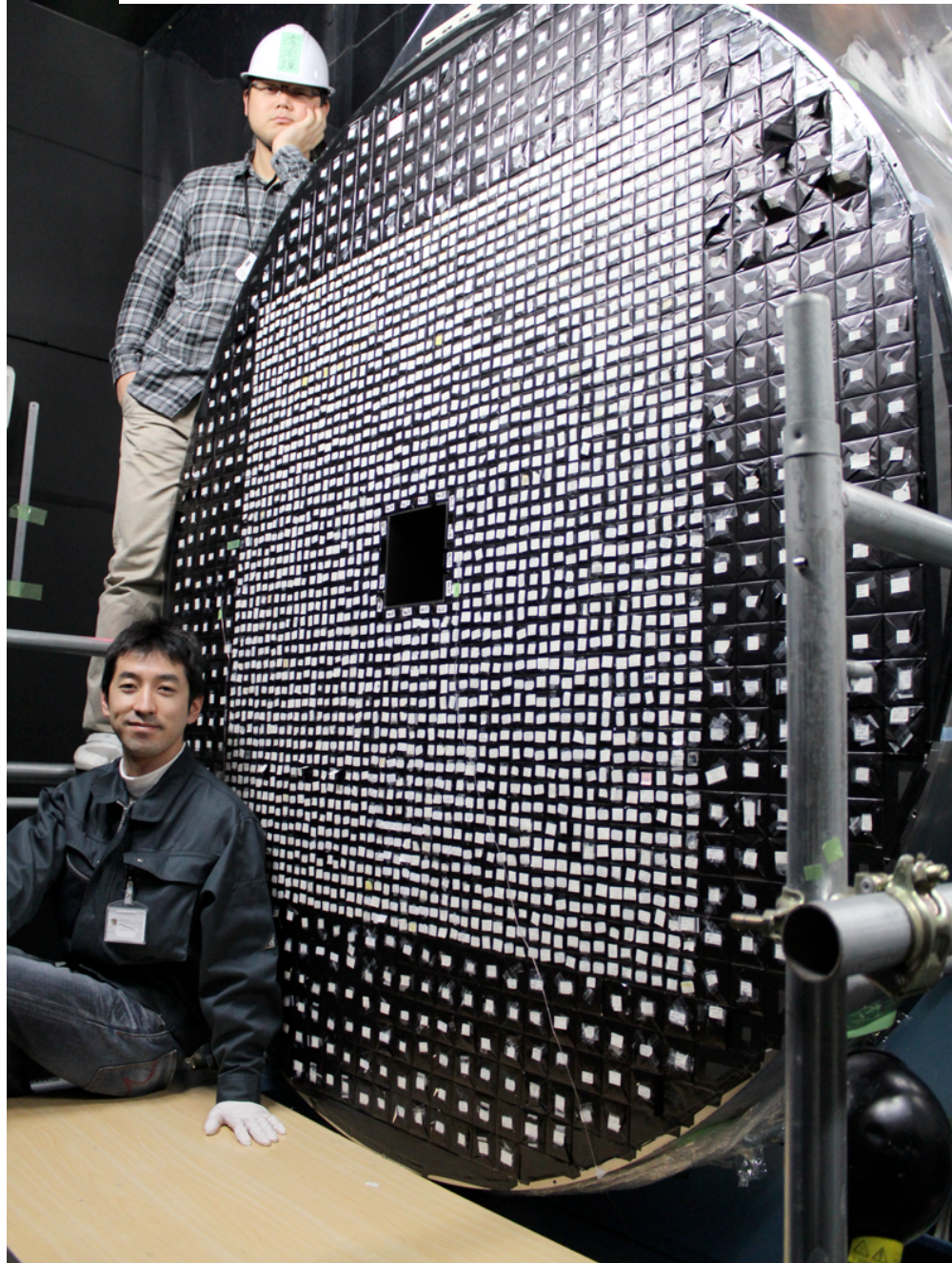
実験原理



- ★ π^0 からの 2γ をCsI結晶電磁力口リメータで測定
- ★ π^0 を再構成し、横方向運動量を持つことを確認
⇒ 2γ 以外の粒子がある
- ★ 全立体角を覆うveto検出器で他に検出可能な粒子は無いと確認

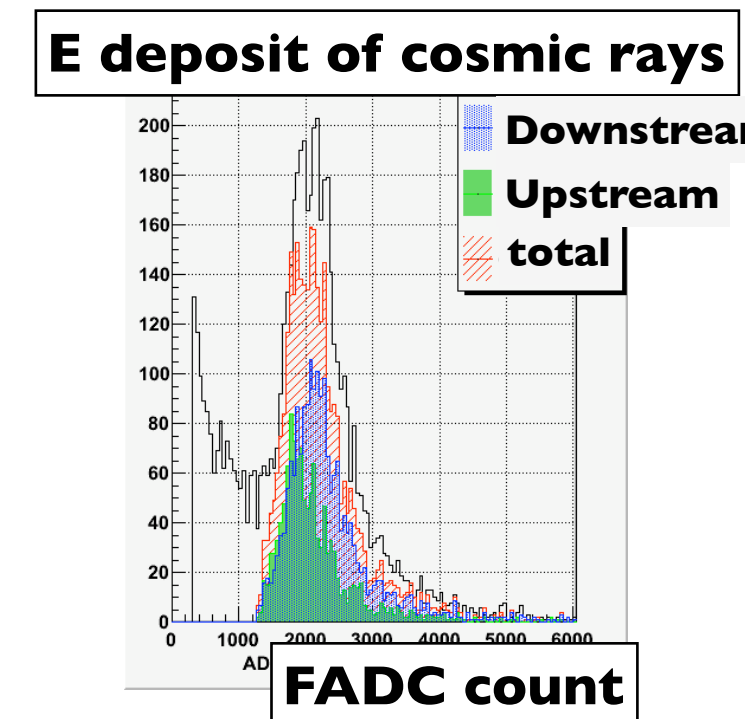
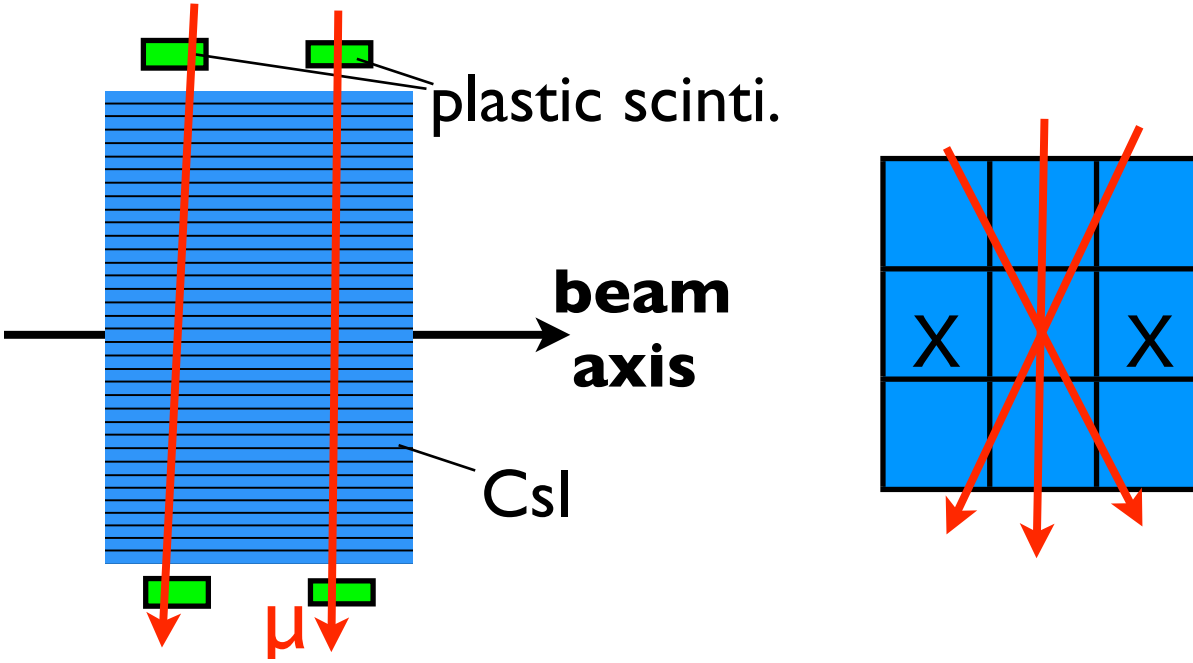
終状態が $2\gamma + \text{invisible}$ は $K_L \rightarrow \pi^0 \nu \bar{\nu}$ のみ

CsI 力口リメータ



- 2.5×2.5×50cm-CsI ~2200本
5×5×50cm-CsI ~500本
- 2011年2月全結晶の積載
が完了
- FADCで各結晶の波形を
記録
- γ の入射位置、エネルギー
を測定可能

CsI calibration with Cosmic rays



各結晶のcalibration constantは宇宙線のMIP peakから算出

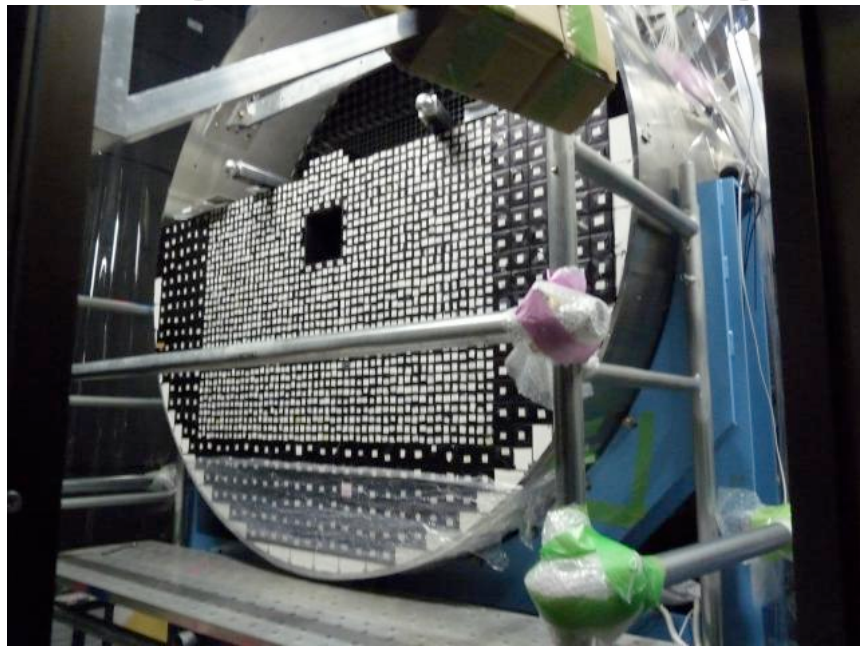
¬ MIP peakは入射宇宙線のエネルギー, pass lengthに依存

¬ CsI長手方向の位置に依存

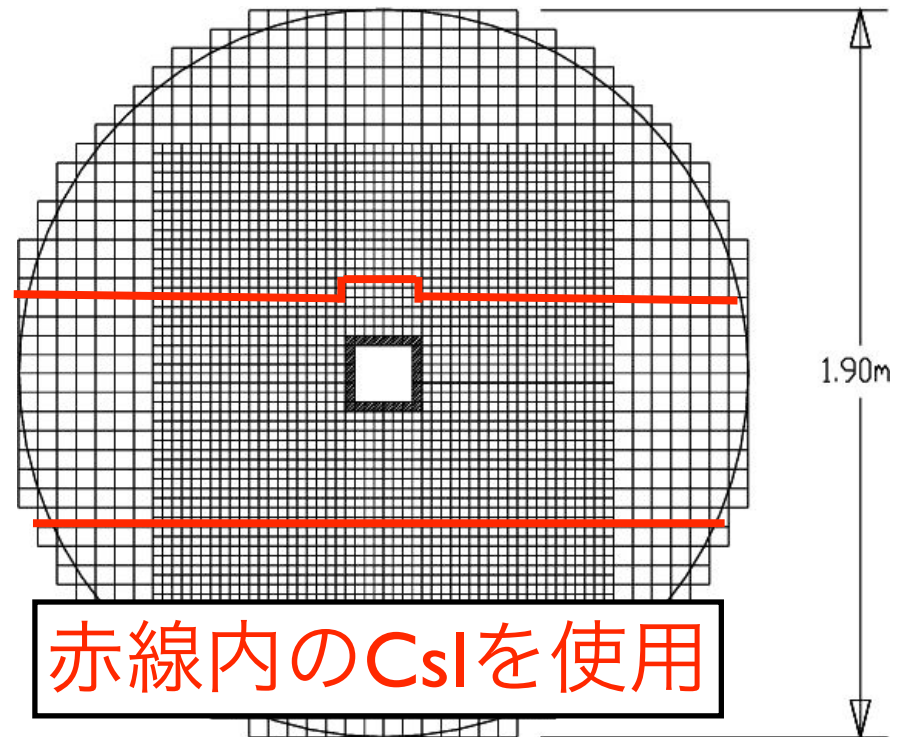
⇒入射エネルギーが既知の粒子が作る電磁シャワー

を用いてのcalibrationが望ましい

engineering run in Fall 2010



2010年10月の状況



- ・建設途中の2010年10~11月にKLビームを用いてテスト
- ・中心付近のCsI~1200本を使用
- ・電磁シャワーを用いて各結晶のcalibration constantの測定を目指す

data taking : 10 hour (Oct.) + 50 hour (Nov.)

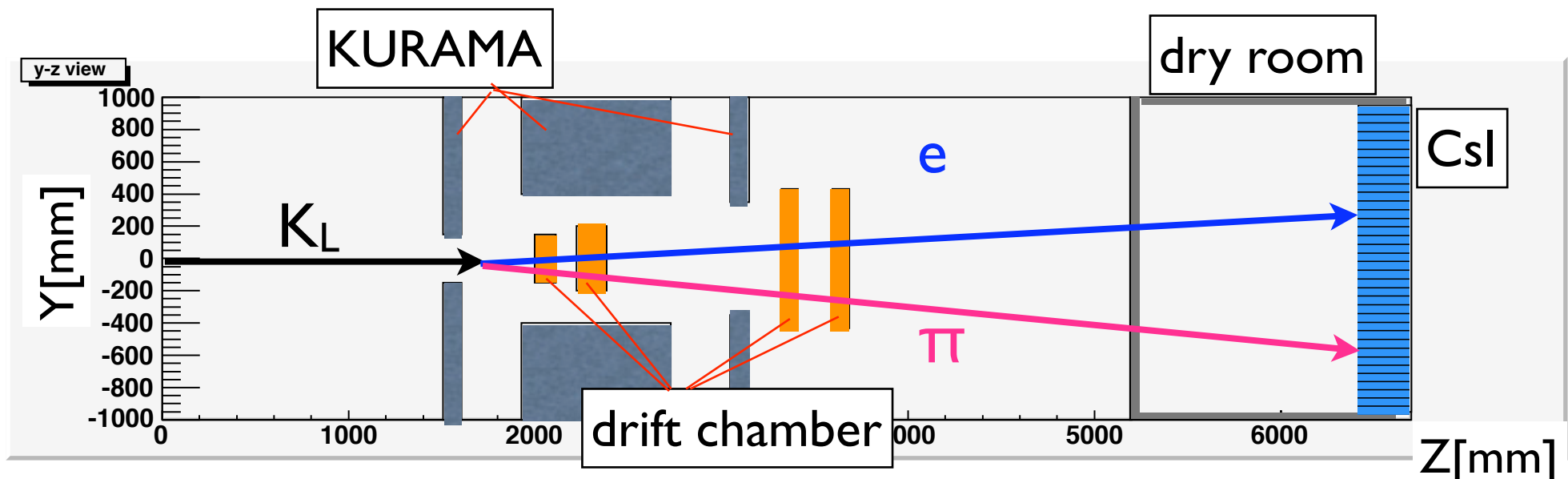
Ke3を用いたCsI calibration

実験概要

- Ke3崩壊($K_L \rightarrow \pi e \nu : Br \sim 40.6\%$)で生成される電子が作る電磁シャワーを測定 \Rightarrow calibration constantを求める

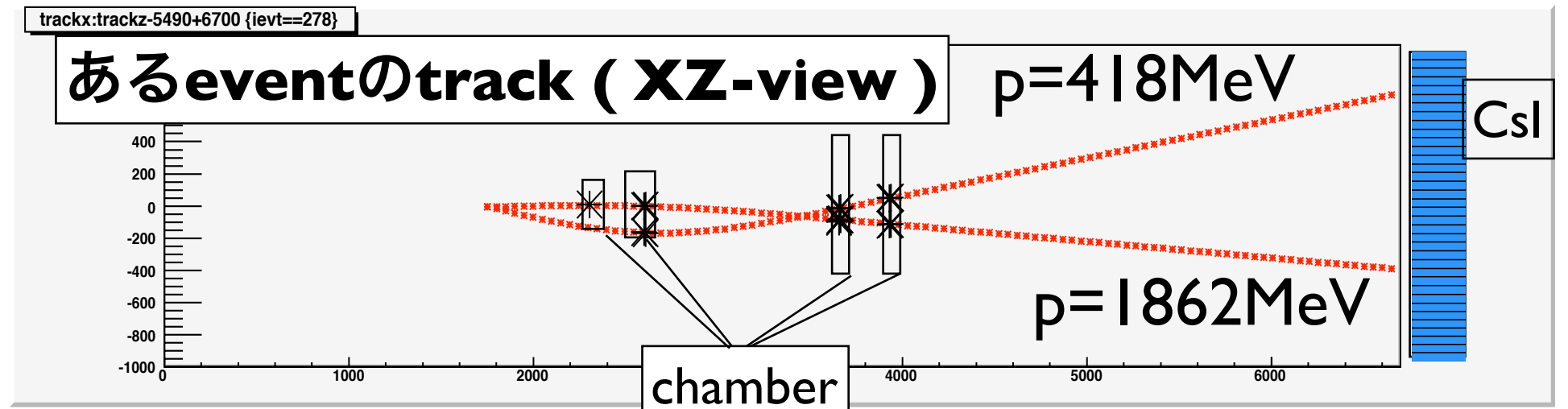
setup

- ★ track e and π by 4 drift-chambers (3~4m upstream of CsI)
- ★ 0.7 T magnet (KURAMA) around chambers.

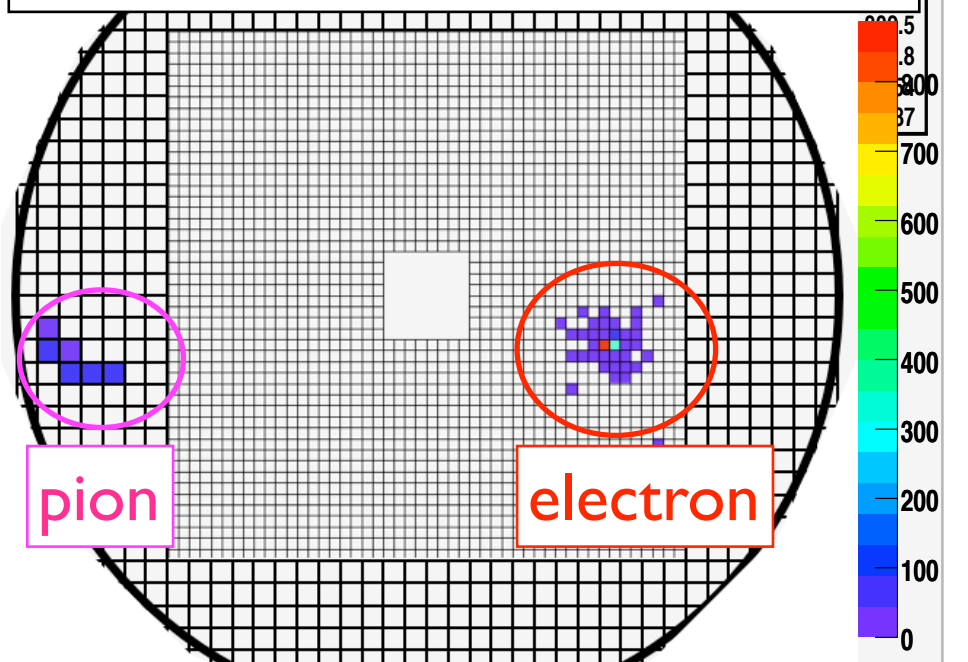


event sample

↓ trackの曲率から荷電粒子の運動量が測定可能



あるeventのCsIのhitの様子

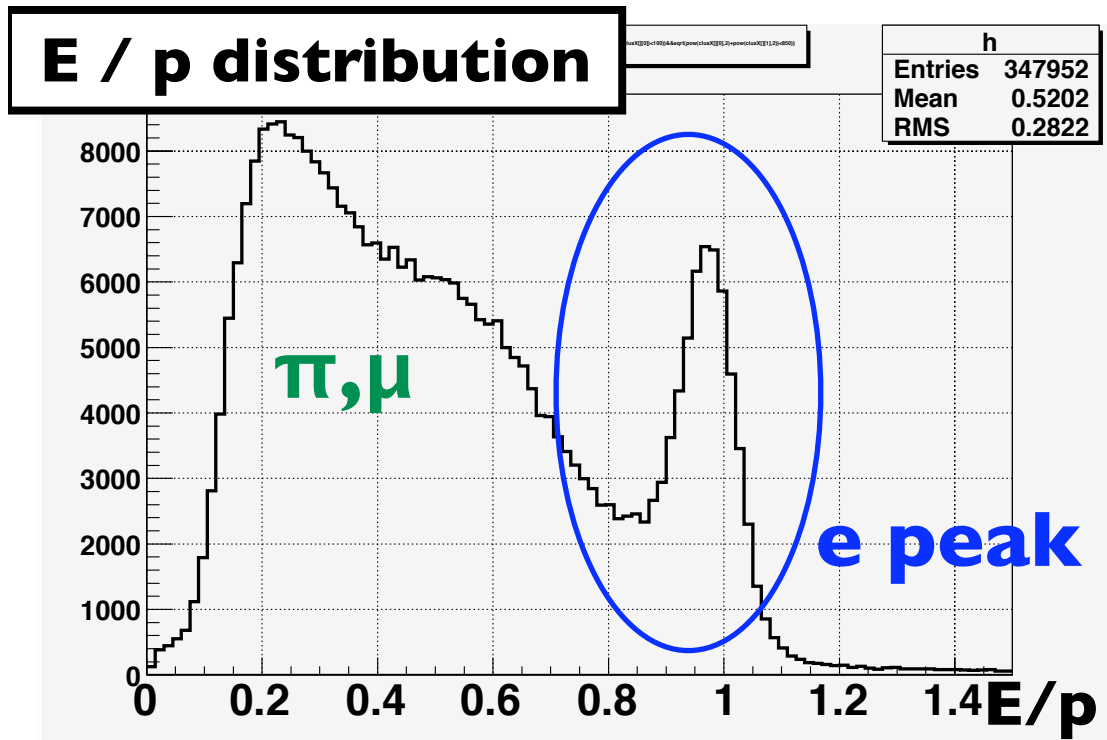


←近くにある結晶をひとつに
まとめて(クラスター),
energyと入射位置を読み出す

★入射粒子が**electron**なら
電磁シャワーを作る

E/p分布

★測定されるtrackはelectronの他,K decay由来の π,μ
⇒electron IDのためにE/p分布を使用



★E/pとは...

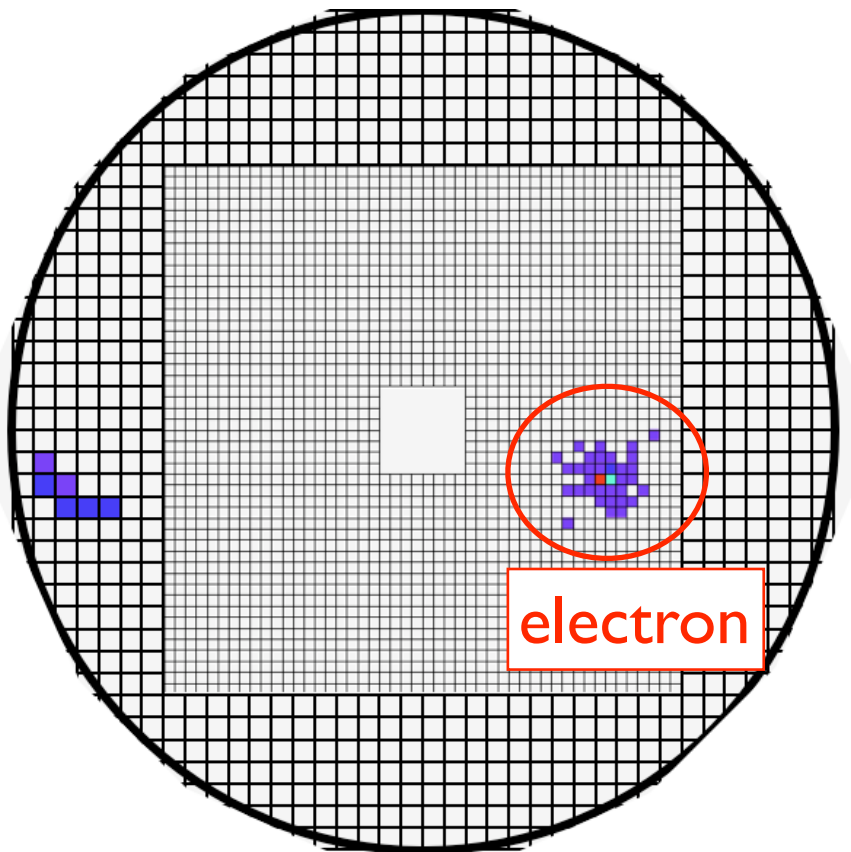
CsIで測ったエネルギー(E)と
chamberで測った運動量(p)
の比

★electronは電磁シャワー
を作る ⇒E/p~1

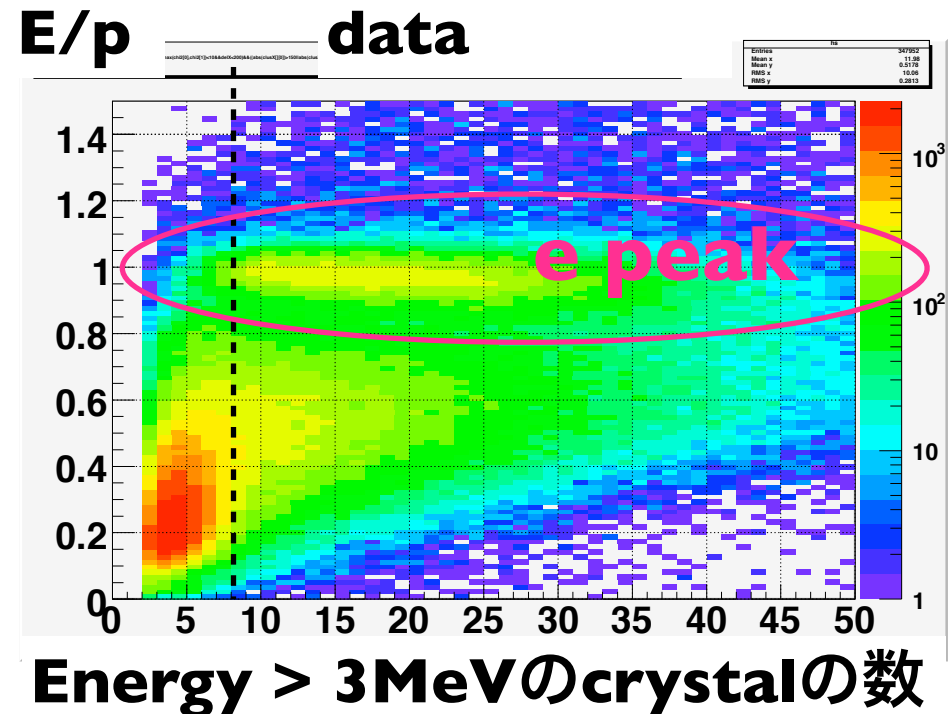
★ $\pi\mu$ はCsIを突き抜ける
⇒E/p<1

★electron peakには π,μ によるcontaminationが見られる
⇒E/pに加えさらなるselection cutが必要

cut①: # of hit crystals

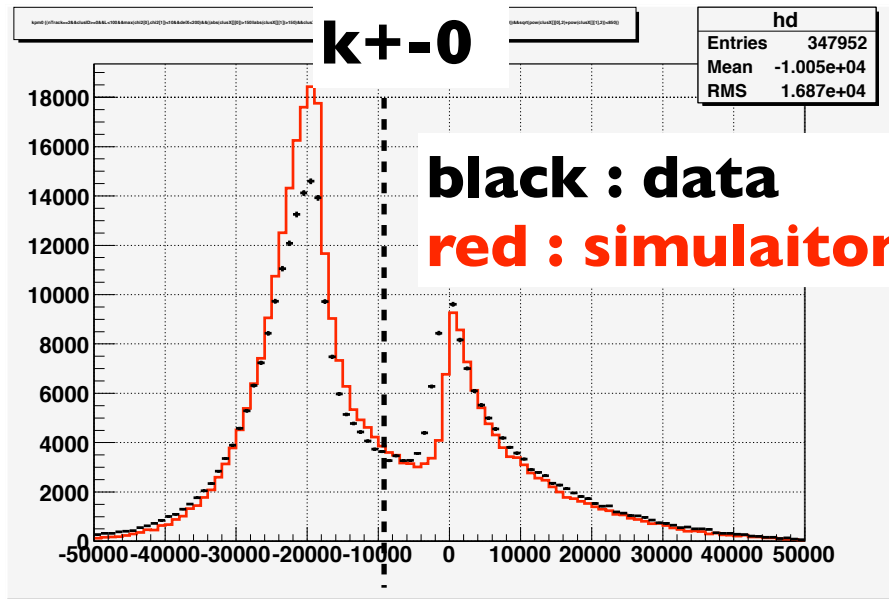


★electronなら
showerの広がりの分
複数のCsIが鳴る

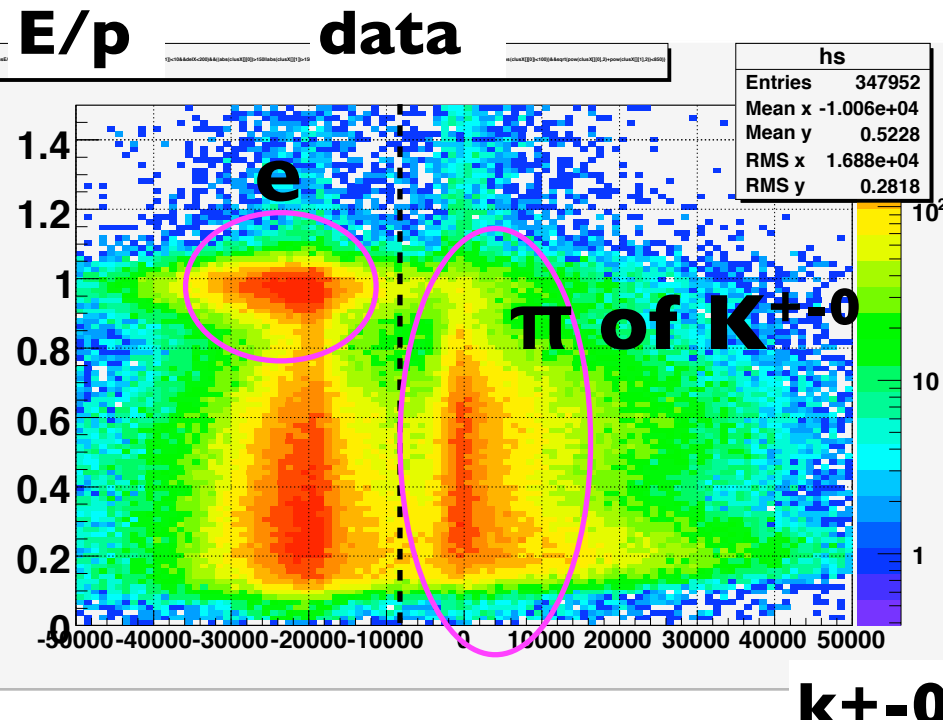


3MeV以上のエネルギーを持つcrystalが8以上を要求

cut②: $K\pi^{+-}$ kinematic



★ $K\pi^{+-}$ 崩壊はkinematicで識別可



chamberの情報を使い

↓ 以下の物理量を計算

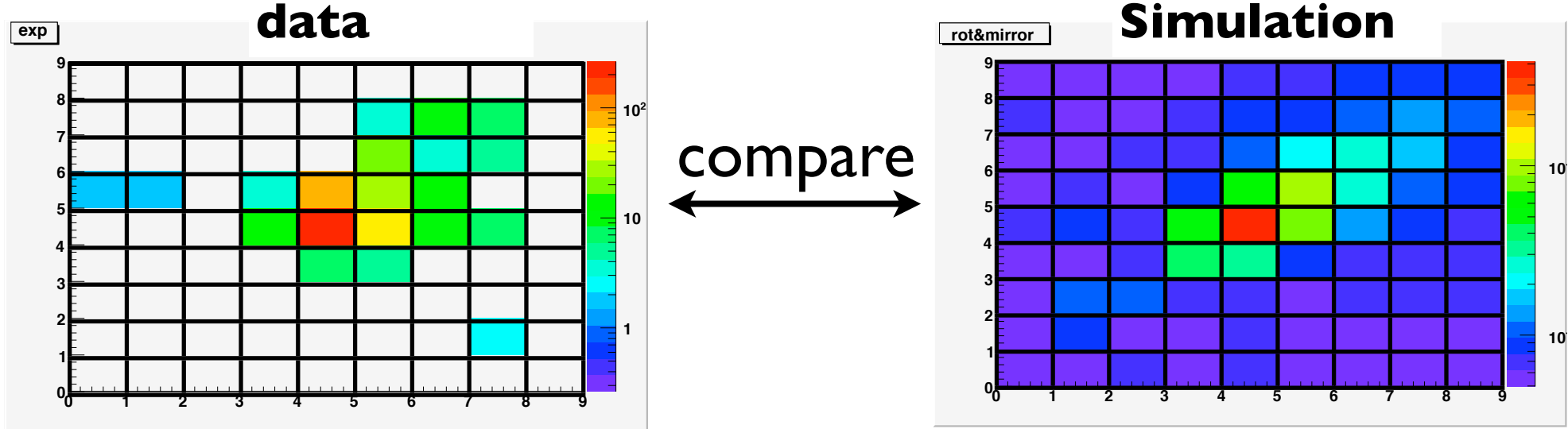
$$k_{+-0} = \frac{(m_K^2 - m_{\pi\pi}^2 - m_{\pi^0}^2)^2 - 4m_{\pi\pi}^2 m_{\pi^0}^2 - 4m_K^2 p_t^2}{4(m_{\pi\pi}^2 + p_t^2)}$$

合とある系で見た π^0 のビーム軸方向運動量二乗。Ke3,Kμ3の場合、物理的におかしい値になる。

★ $k_{+-0} < -9000$ を要求

cut③: shape χ^2

shape χ^2 cut : シャワーの形状で electron を識別

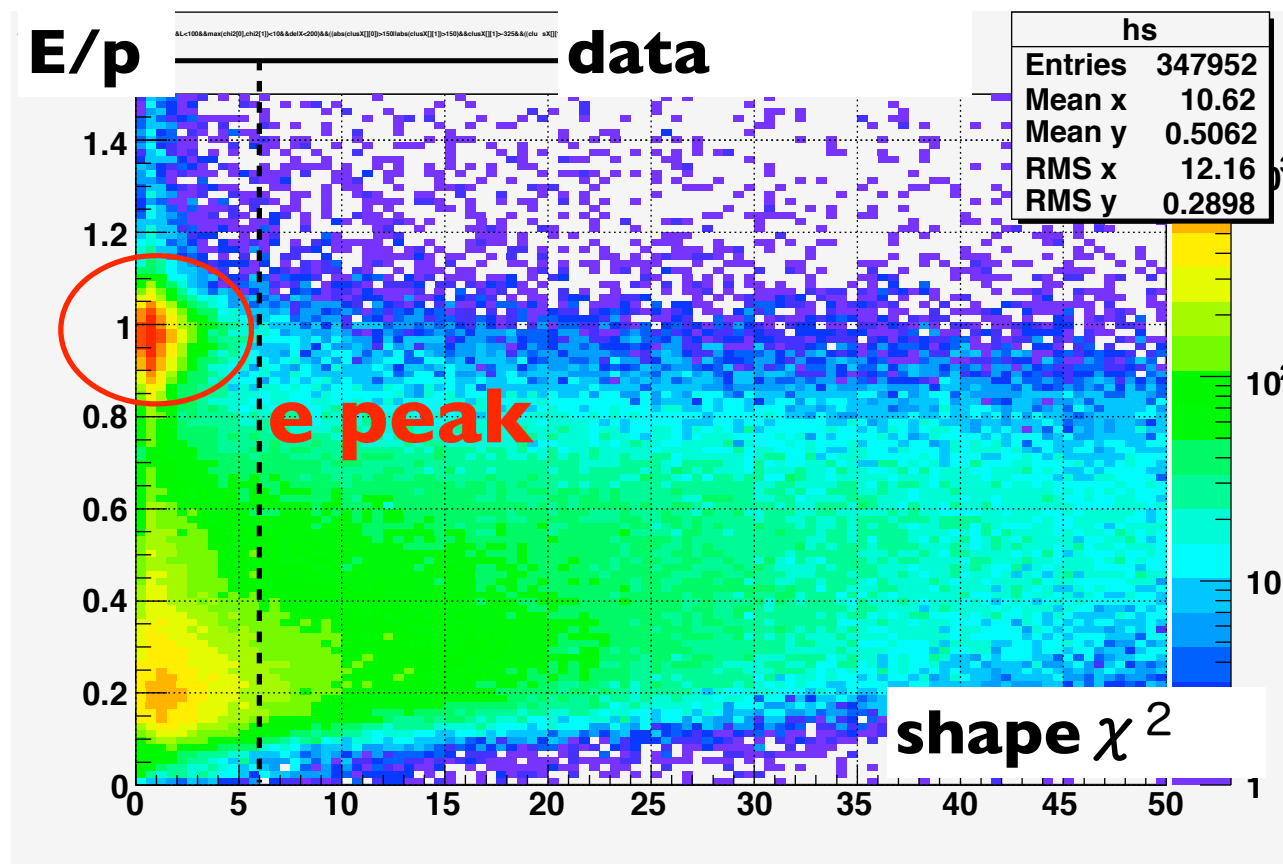


測定されたシャワー形状を simulation で得られたシャ
ワー形状と比べる

$$\chi^2 = \sum_{CsI} \left(\frac{E_{measured} - E_{simulated}}{RMS_{simulated}} \right)^2$$

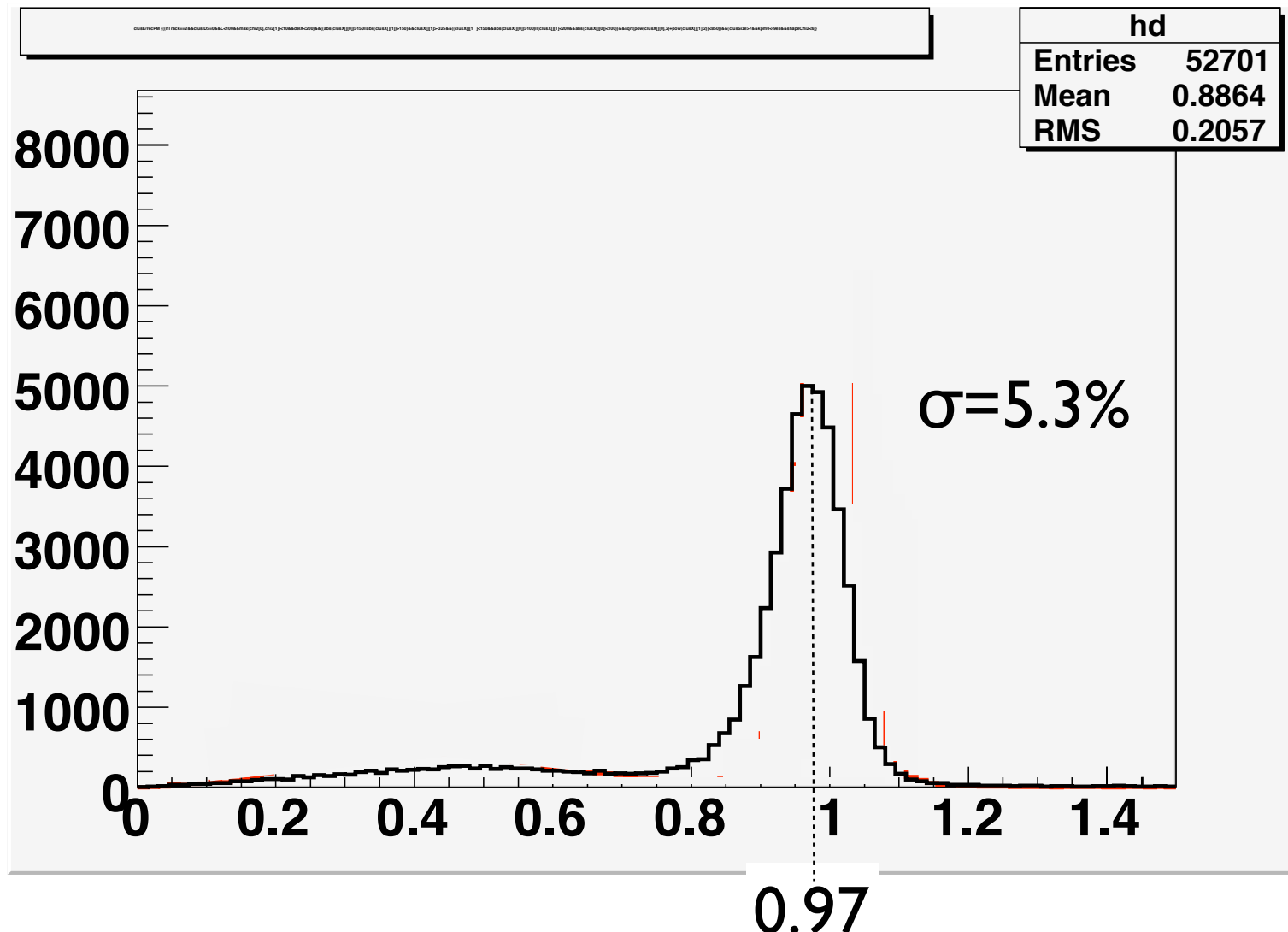
(the summation is taken over all crystals in the measured cluster.)

cut③: shape χ^2



shape $\chi^2 < 6$ を要求

cut後のE/p分布



- ★ electron-like event : 40000 event / Nov. run (50 hour)
- ★ peakは2~3%程低い位置に

calibration constantの算出

★全eventのelectron like なclusterについて χ^2 を計算

$$\chi^2 = \sum_{event} \left(\frac{E_{chamber} - E_{CsI}}{\sigma} \right)^2 = \sum_{event} \left(\frac{E_{chamber} - \sum_{cluster} \Delta_i e_i}{\sigma} \right)^2$$

(e: 各結晶のedep w/ 現在の calib. const. , Δ :求めたいparameter)

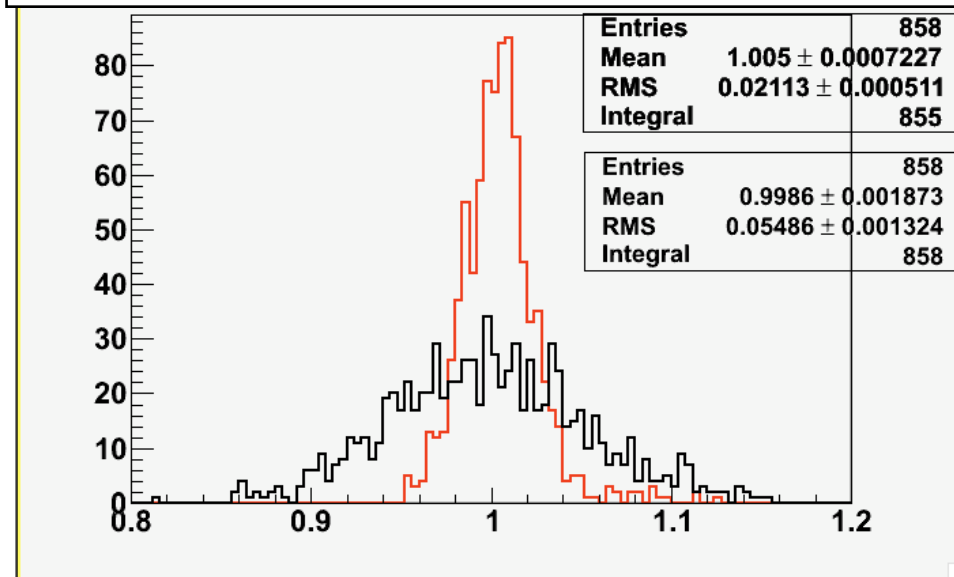
χ^2 を最小にする $\{\Delta\}$ は次の式を満たす。

$$\frac{\partial \chi^2}{\partial \Delta_n} = \sum_{event} 2 \left(\frac{E_{chamber} - E_{CsI}}{\sigma^2} \right) \cdot e_i = 0$$

⇒ 1200個の連立方程式。解析的に解く。

simulationに適用

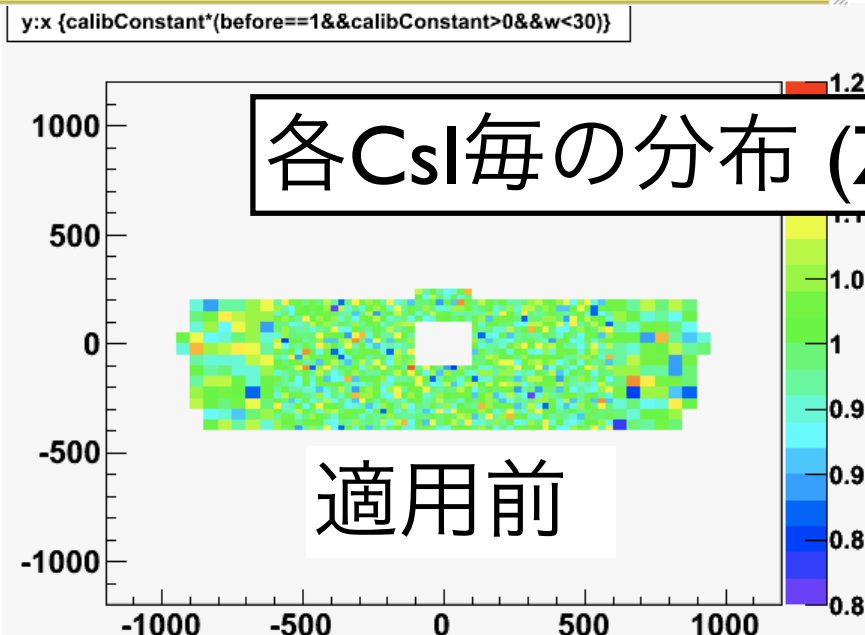
calibration constantの分布



★calib. constantを5.4% smearさせ,前ページの方法を適用

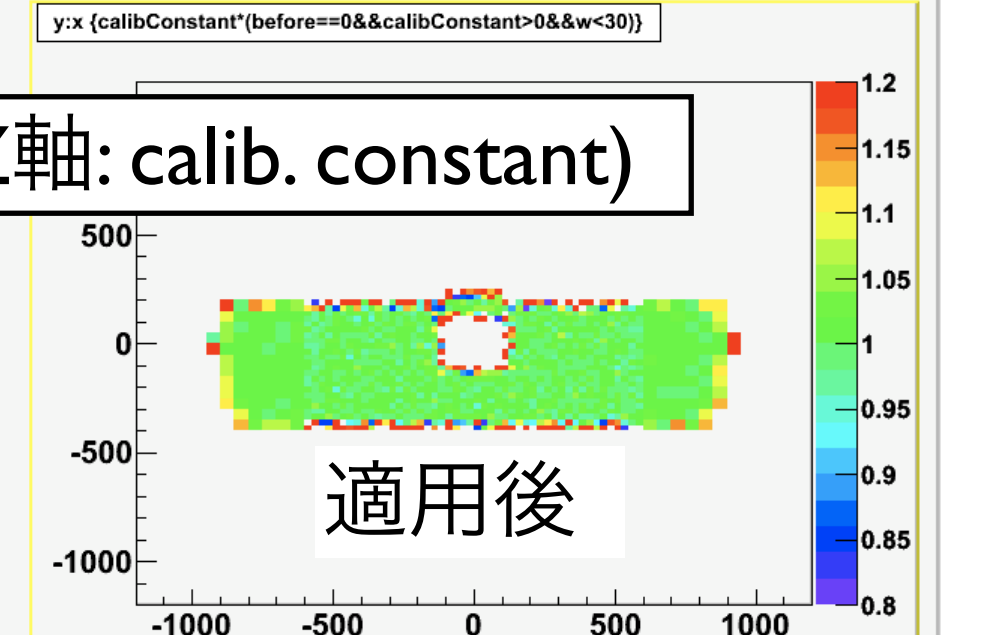
←2%に改善する

端2つ分を除けば
↓位置によらない



各CsI毎の分布 (Z軸: calib. constant)

適用前

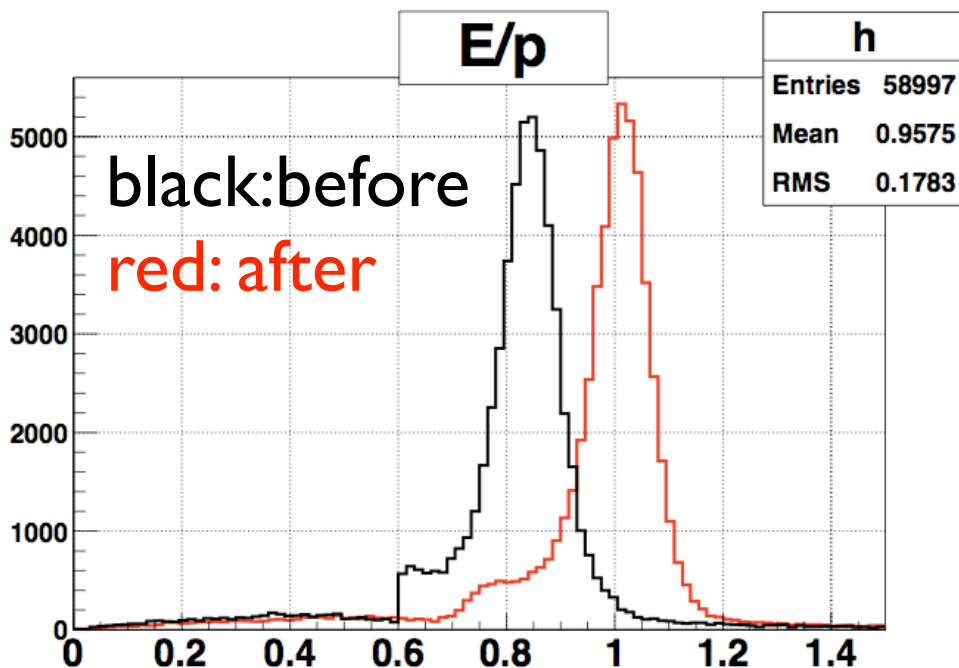


適用後

dataに適用結果

*KEK計算機が復旧して

いないため古いplot

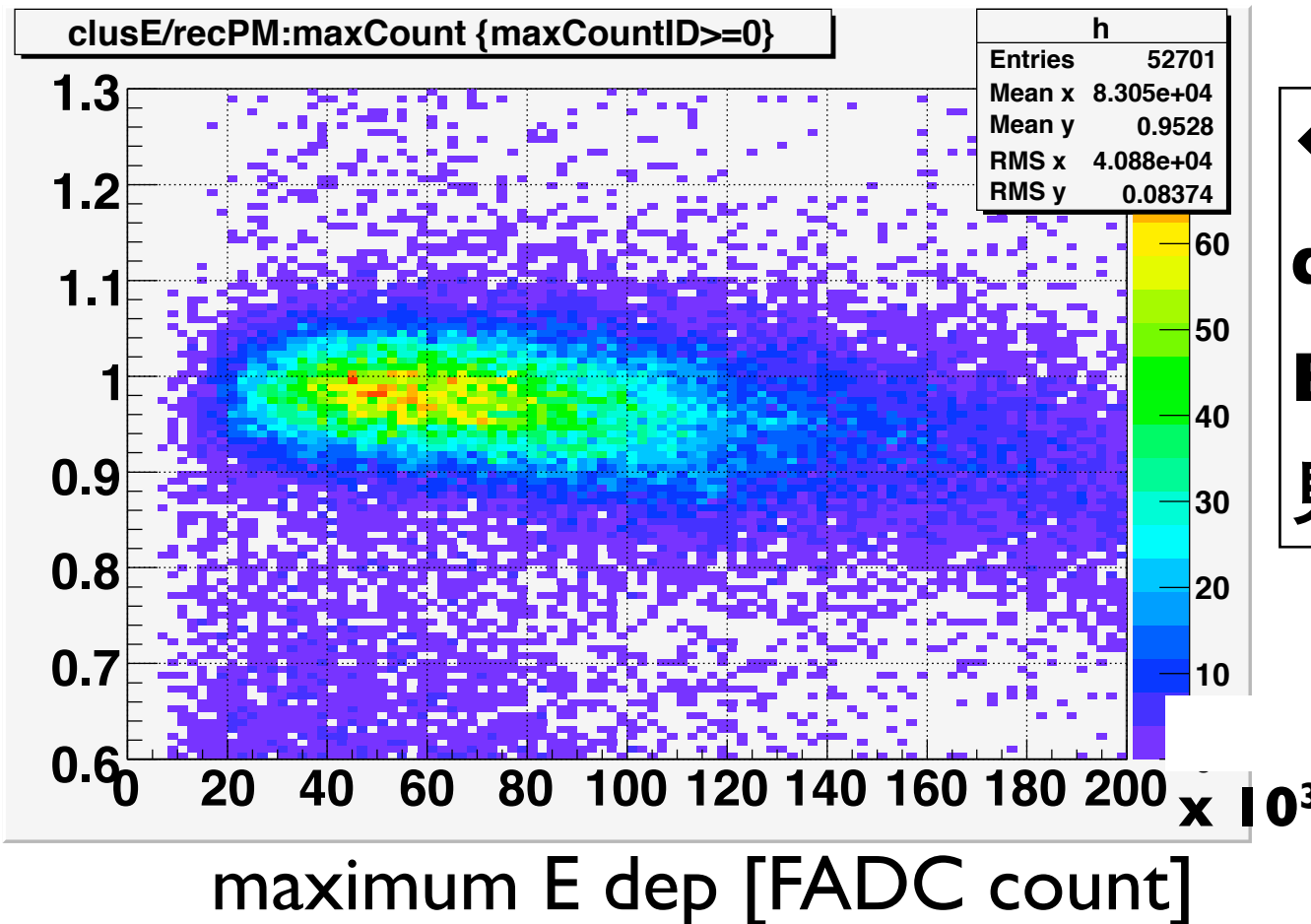


E/pのmeanは1に立ったが
RMSはほぼ変わらない

nonlinearity ?

electron peakは別の原因で広がっている

⇒nonlinearity ?

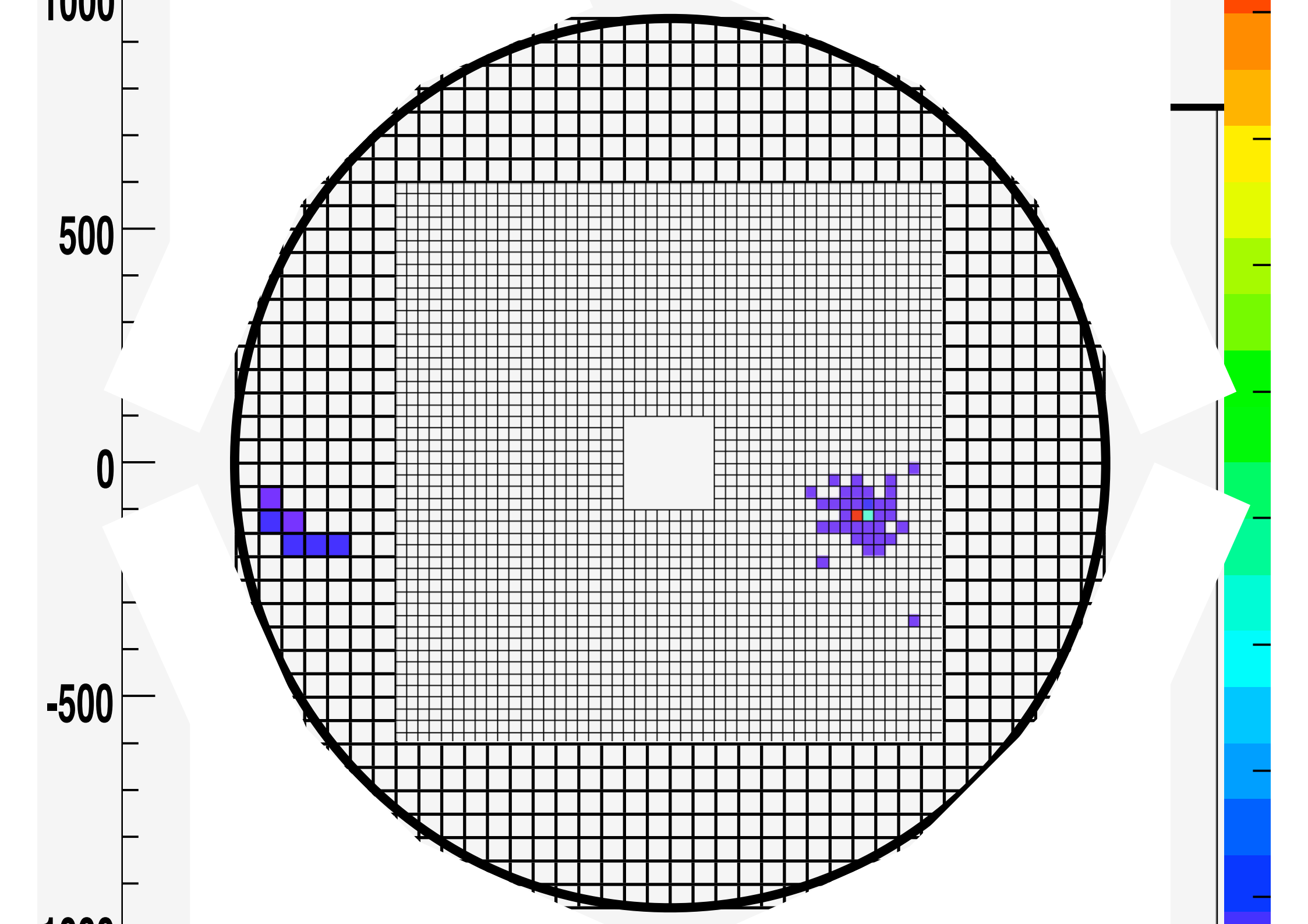


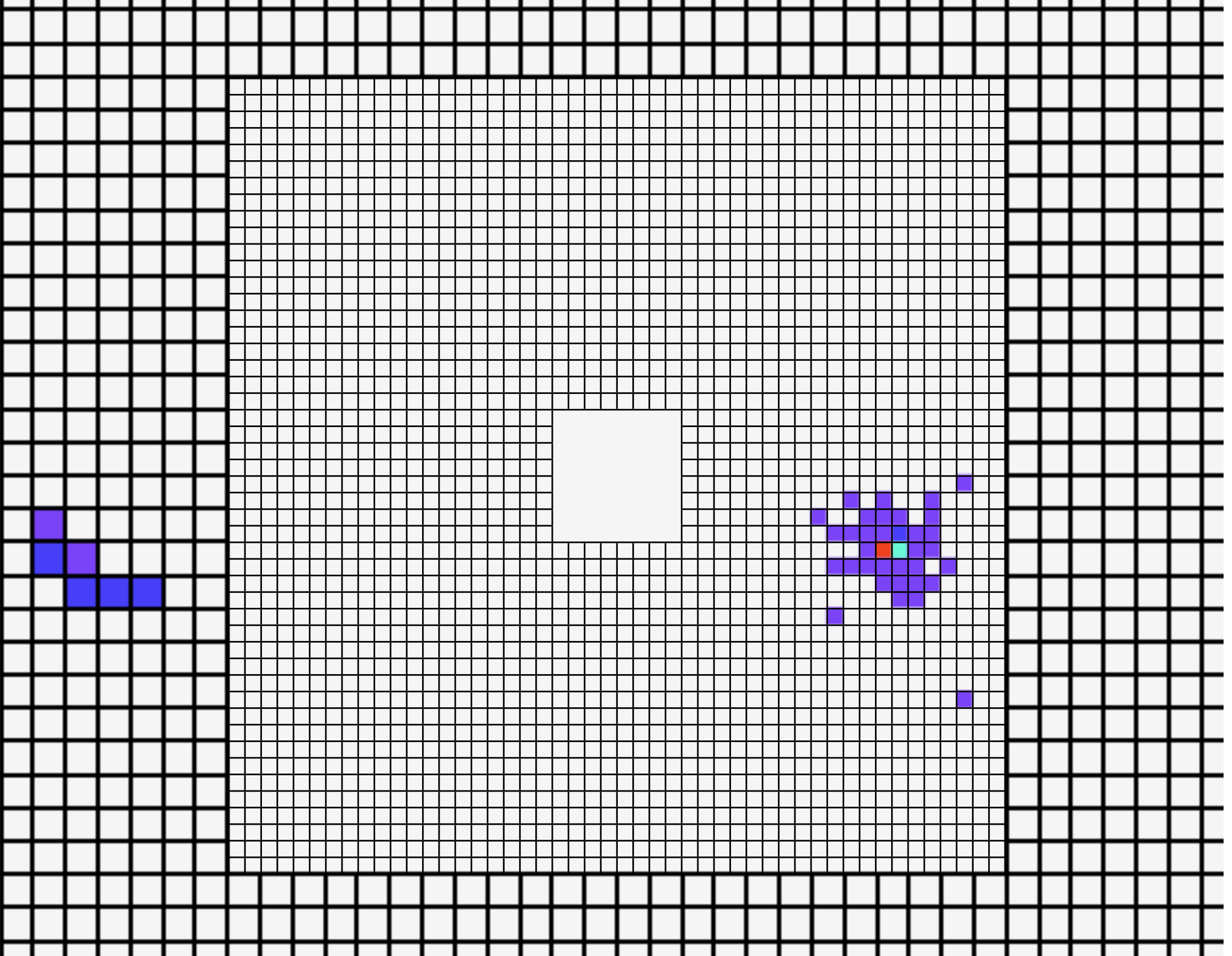
←CsIへのenergy
depositが大きいほど
E/pが低くなる傾向が
見えている

summary

- KOTO実験主要検出器 CsI結晶電磁力口リメータ
→今年2月に全結晶の積載が完了
- 昨年10~11月に、 CsIのcalibration constantを測るためのビームテストを実施
- Ke3 eventのelectronを用いてCsI上での電磁シャワーを測定
- Calibration constantは~2%の精度で求まる予想
→dataに適応しても改善が見られない？
- non-linearityがみえている→補正が必要

backup



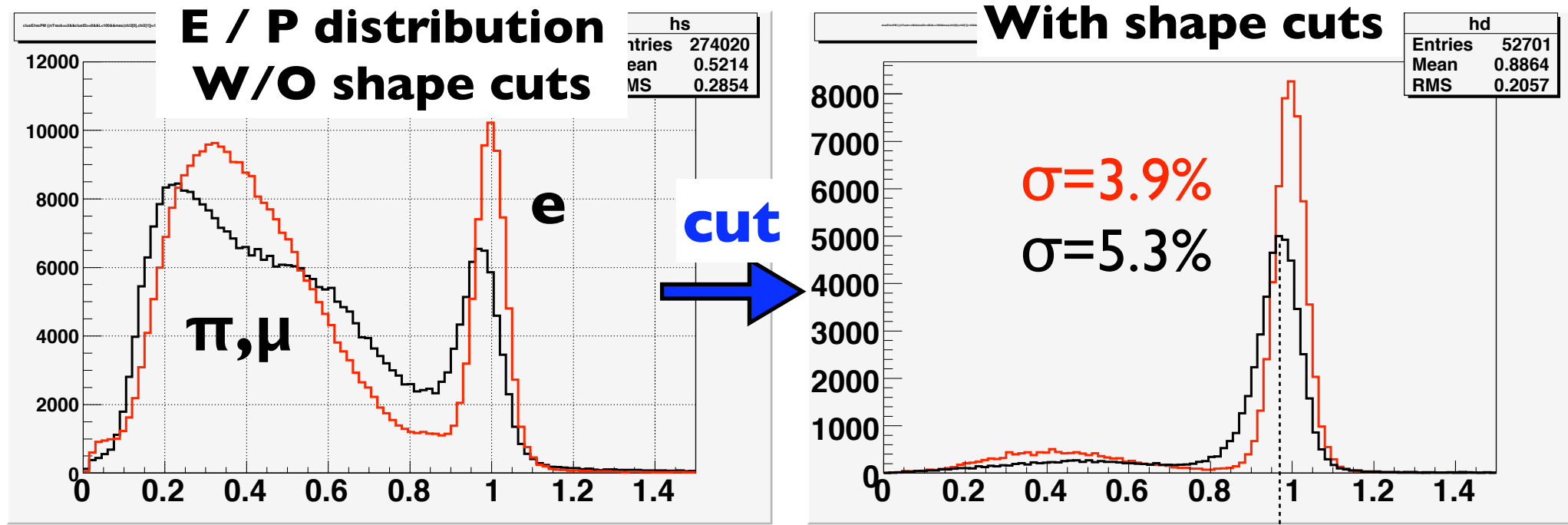


π, μ と electron の識別

★eならば $E/P \sim 1$

(E : CsI で測ったエネルギー P : chamber で測った運動量)

★電磁シャワーの形状を simulation と比較(shape cut)



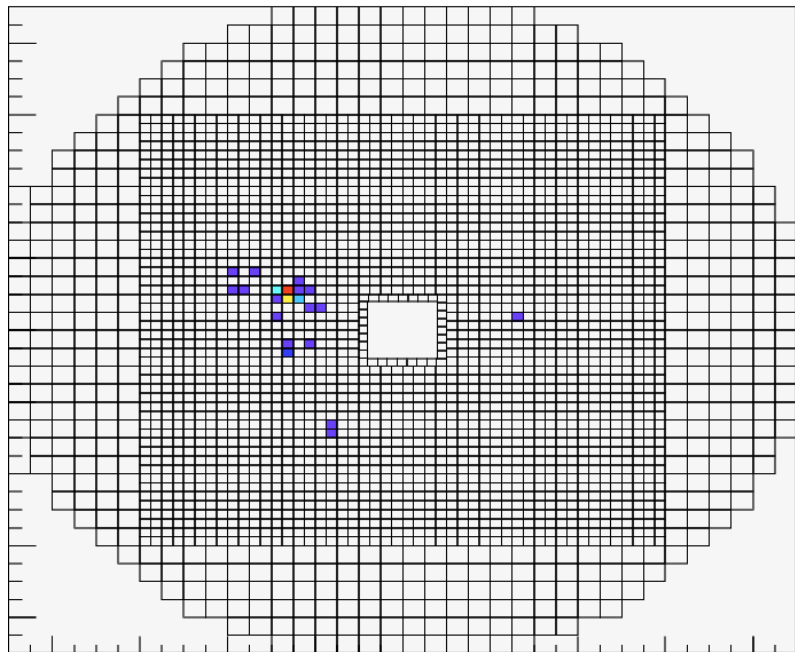
black : data

red : simulation (scaled to fit the data)

0.97

electron like event : 40000 event / Nov. run (50 hour)

CsI clustering

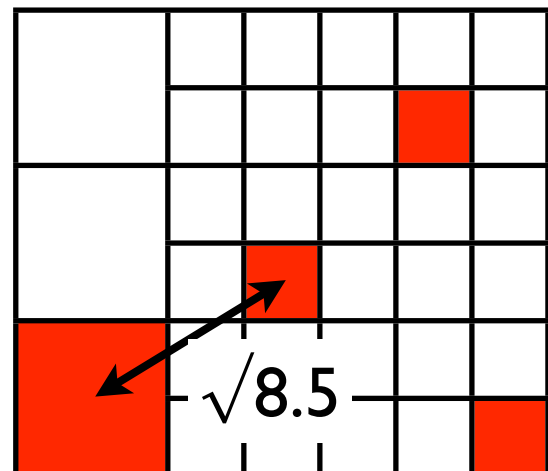


cluster

≡ a group of neighboring CsI crystals with finite energy deposit

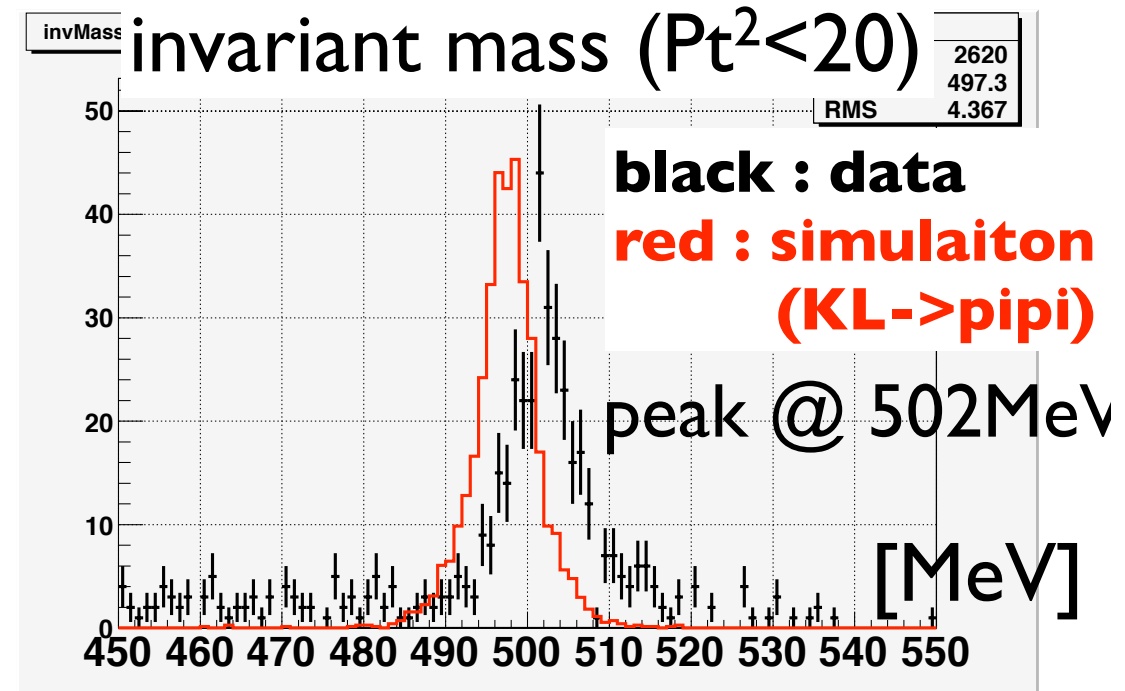
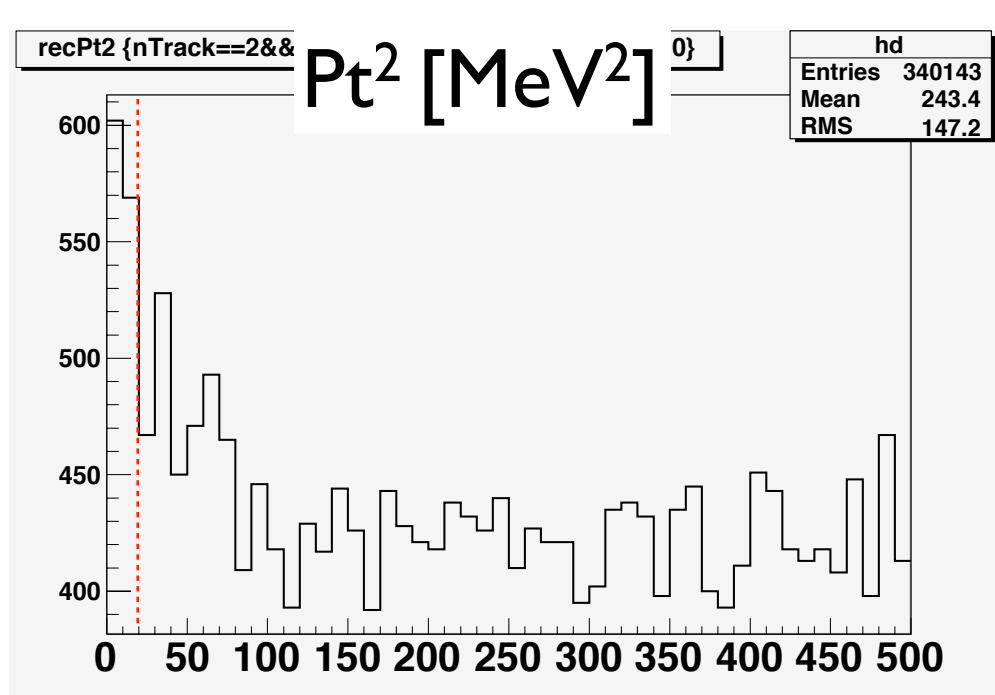
rule of clustering

- ① ignore crystals with E deposit less than 3 MeV
- ② if the distance between 2 crystals is less than $25\text{mm} \times \sqrt{8.5}$, then they were assumed to belong the same cluster.
- ③ if A and B are the same cluster and C and B are the same cluster, then A and C are the same cluster



momentum measurement

$K_L \rightarrow \pi\pi$ decay was reconstructed correctly.



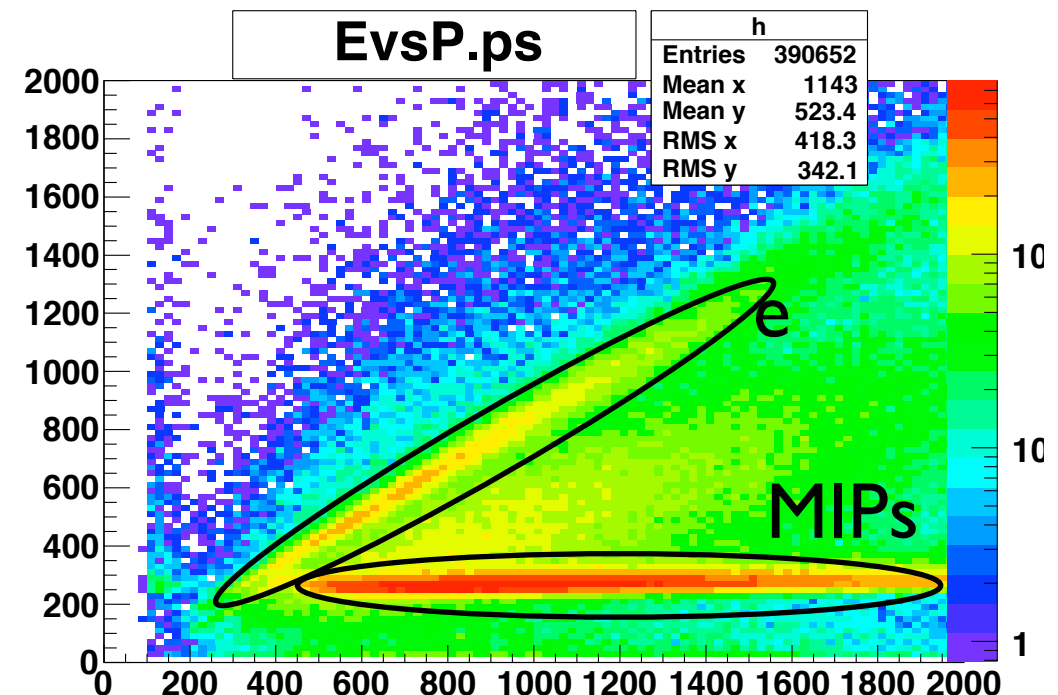
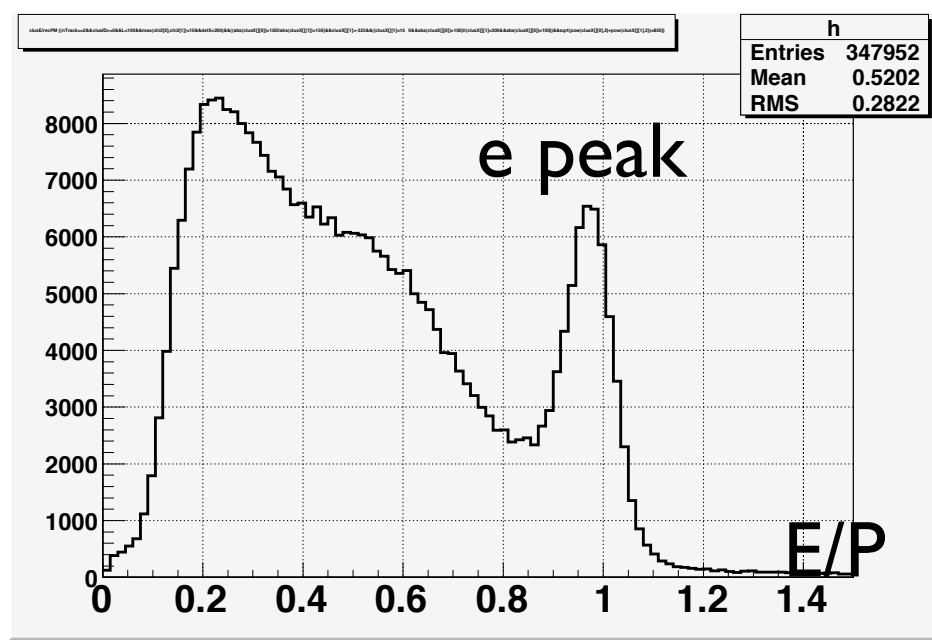
the peak position of inv. mass is consistent with K_L mass within 1%.

⇒ the momentum measurement with chambers works well

E/P

★ as for electrons, **E/P ~ I**

(E :cluster energy on CsI, P :momentum measured by chambers)

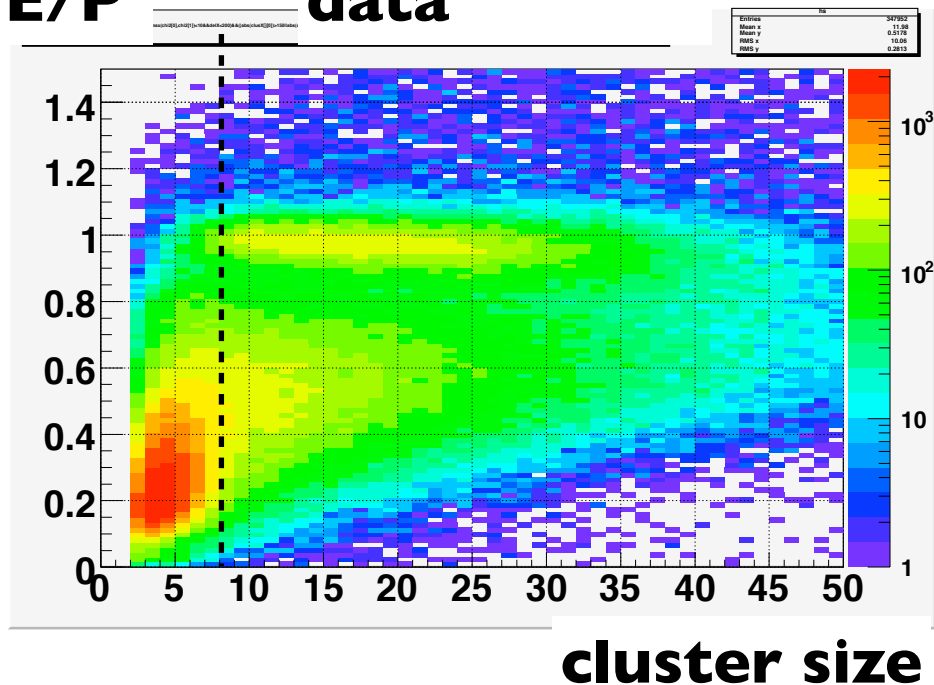


⇒ need some cuts to distinguish electrons from μ, π

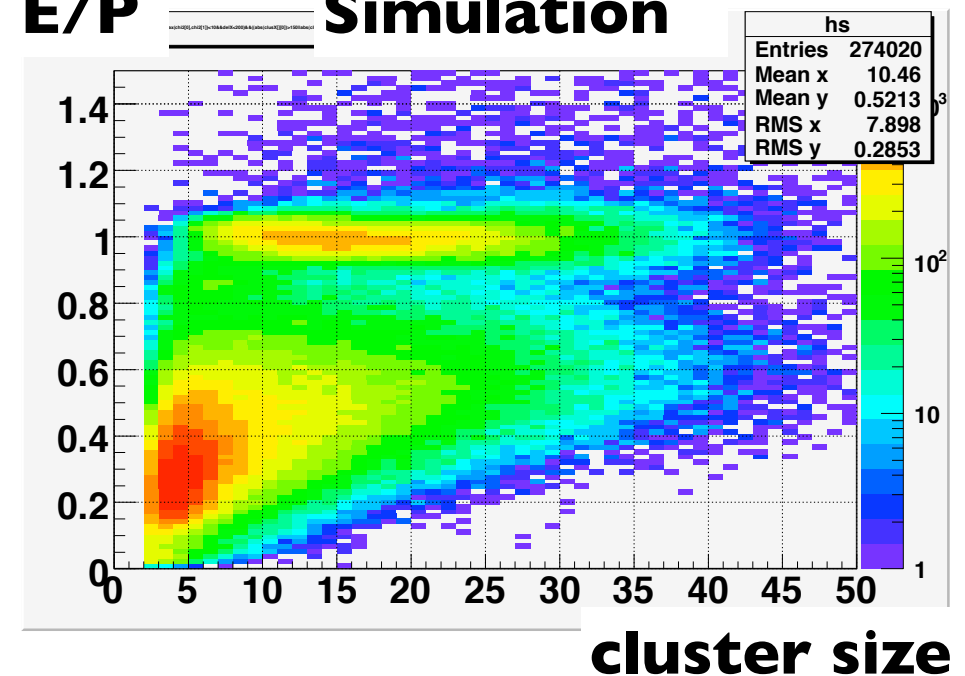
Cluster Size

★cut by cluster size (# of crystals in the cluster)

E/P data

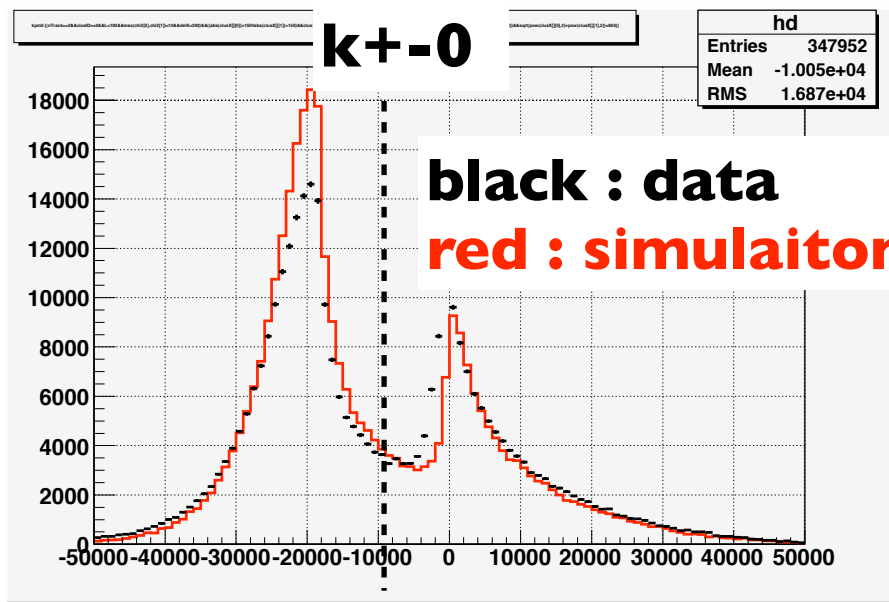


E/P Simulation



(*simulation : generate 1×10^8 KL in Geant4)

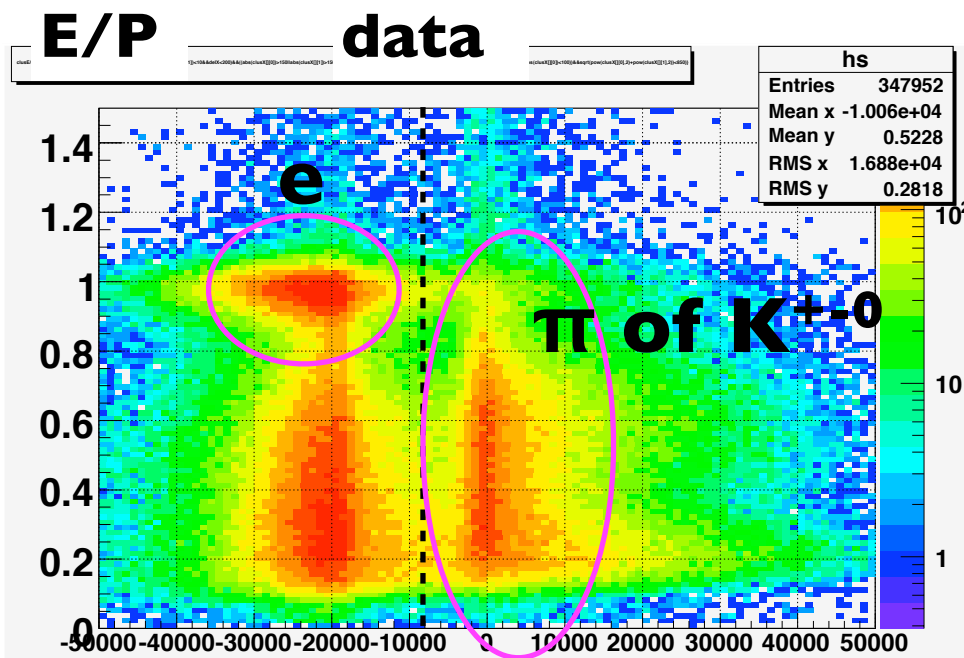
k^{+-0}



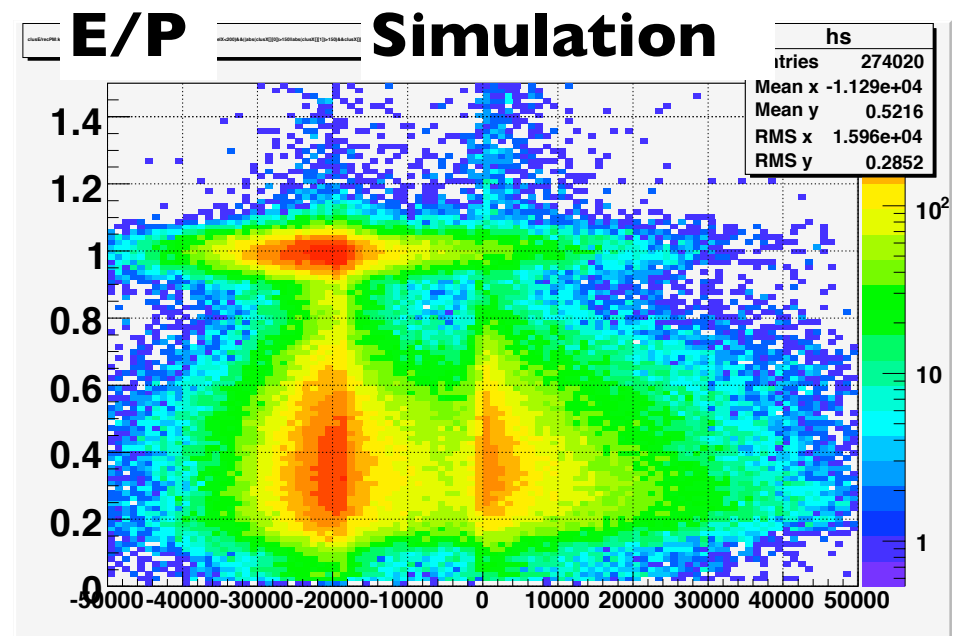
kinematic cut to distinguish $K\pi^{+-0}$

$$k_{+-0} = \frac{(m_K^2 - m_{\pi\pi}^2 - m_{\pi^0}^2)^2 - 4m_{\pi\pi}^2 m_{\pi^0}^2 - 4m_K^2 p_t^2}{4(m_{\pi\pi}^2 + p_t^2)}$$

(the square of the longitudinal momentum of the π^0 in a frame along the K flight direction where the $\pi^+\pi^-$ pair has no longitudinal momentum.)



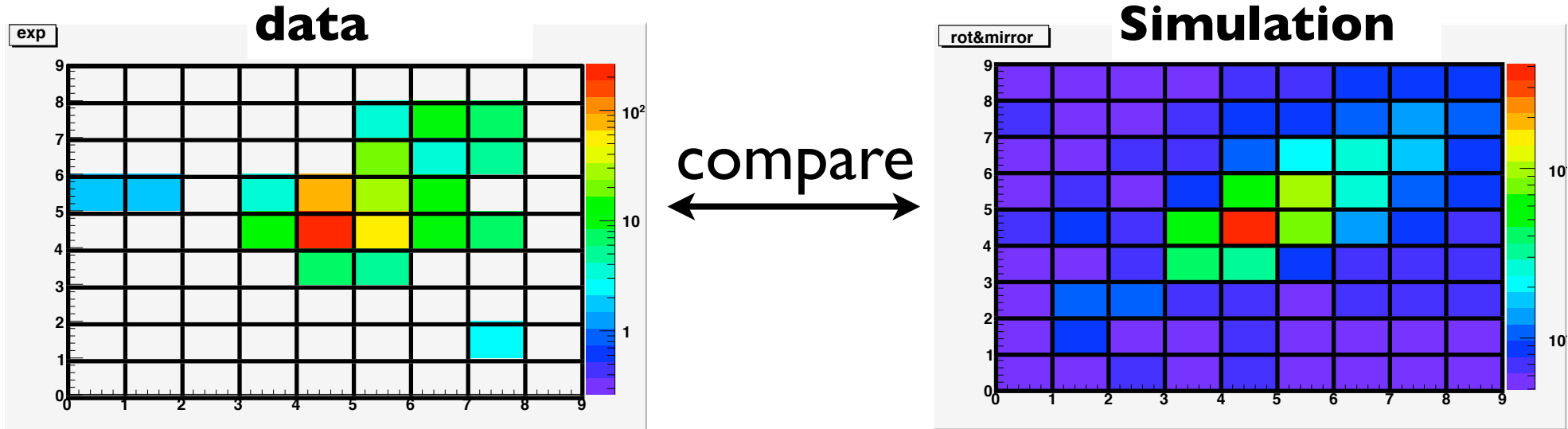
k^{+-0}



k^{+-0}

shape chi2

shape chi2 cut : to identify an electron from its shower shape

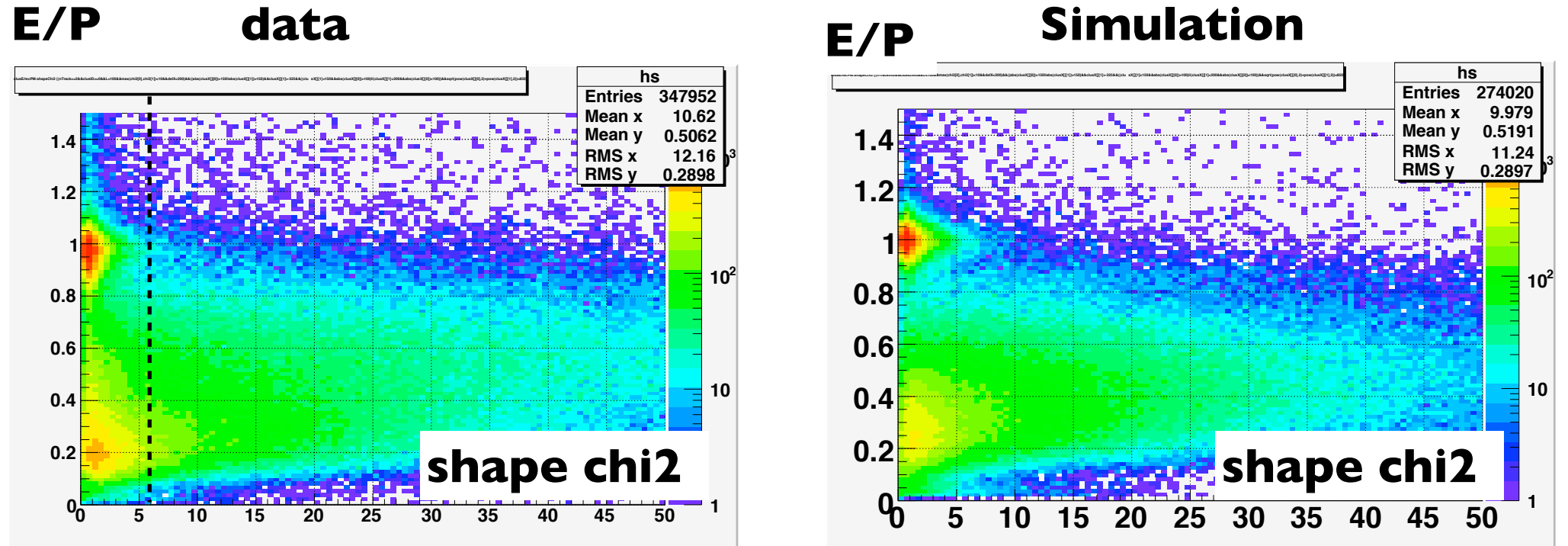


compare a measured cluster shape with a “simulated shape”.
“simulated shape” ≡ An average cluster shape of gamma shower simulated by geant4. The generated gamma has the same energy and direction with the measured electron.

$$\chi^2 = \sum_{CsI} \left(\frac{E_{measured} - E_{simulated}}{RMS_{simulated}} \right)^2$$

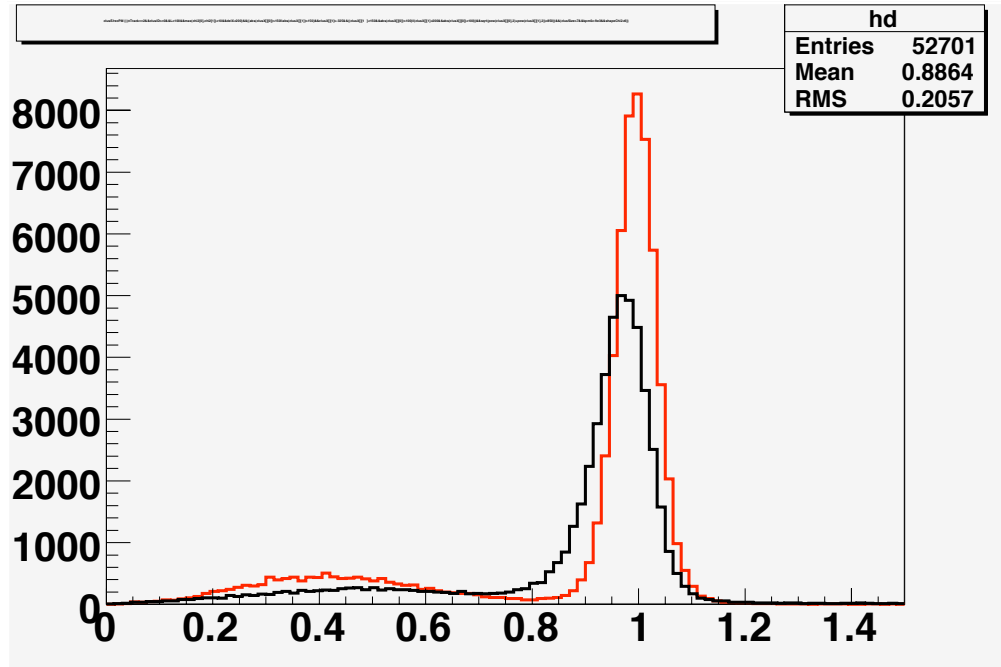
(the summation is taken over all crystals in the measured cluster.)

shape chi2



(*simulation : generate 1×10^8 KL in Geant4)

problems



★The electron peak is wider than simulation.

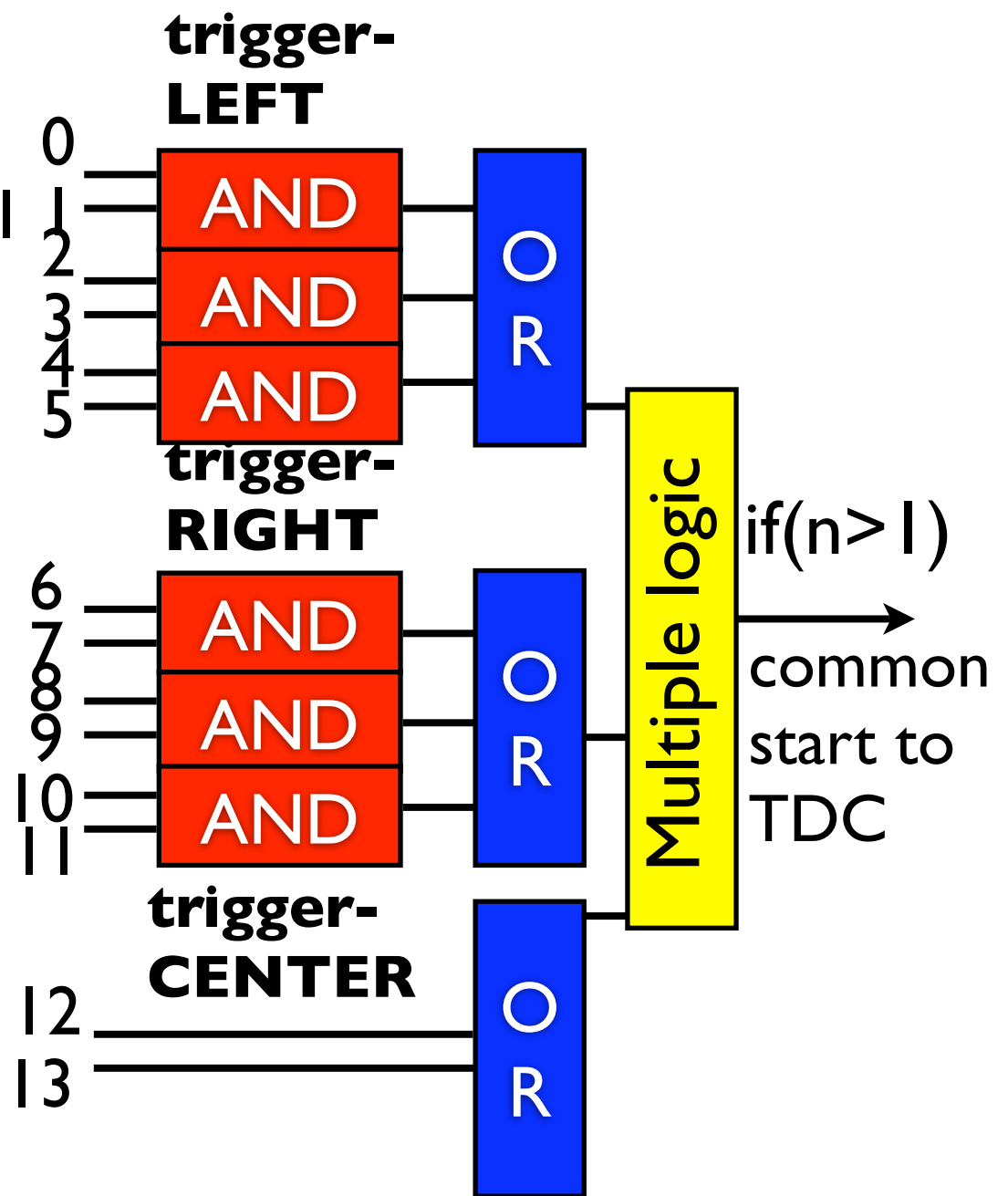
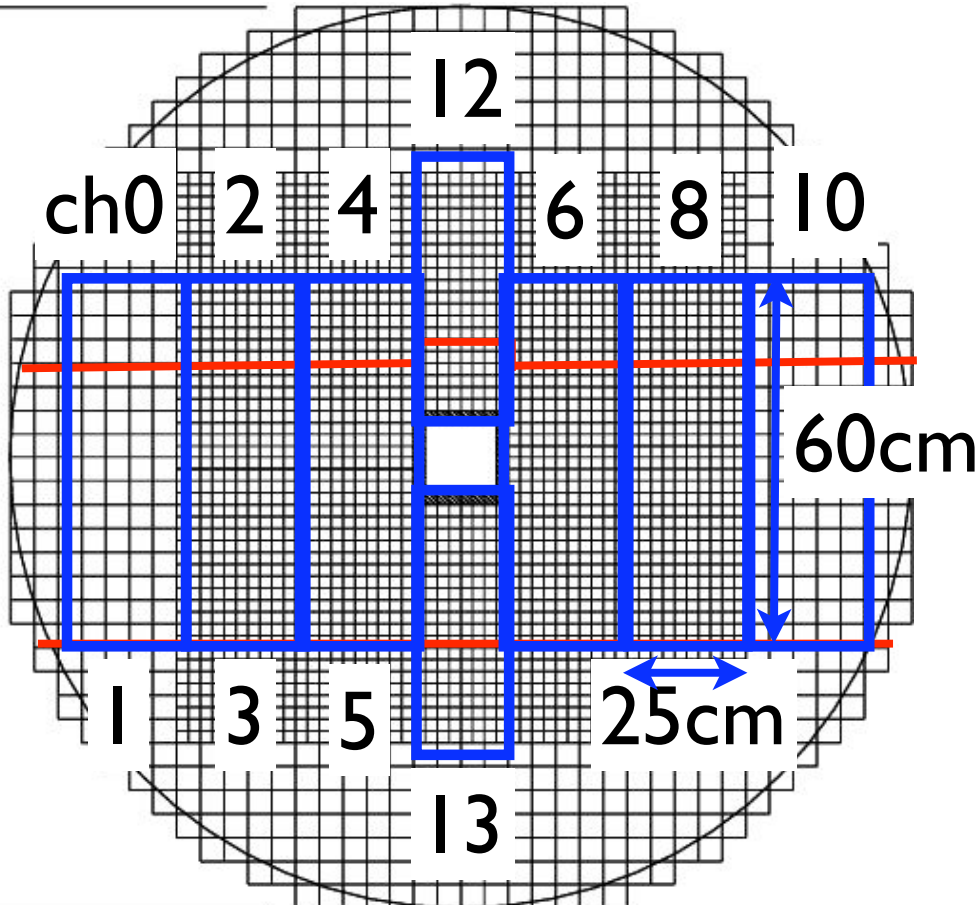
⇒ • inaccuracy of the present calibration constants?
• chamber alignment?
• chamber X-T relation (TDC calibration, trigger timing correction)?

★the electron peak position is $\sim 3\%$ lower.

⇒ in the pi0-target-run analysis by Shiomi-kun, this is not found.

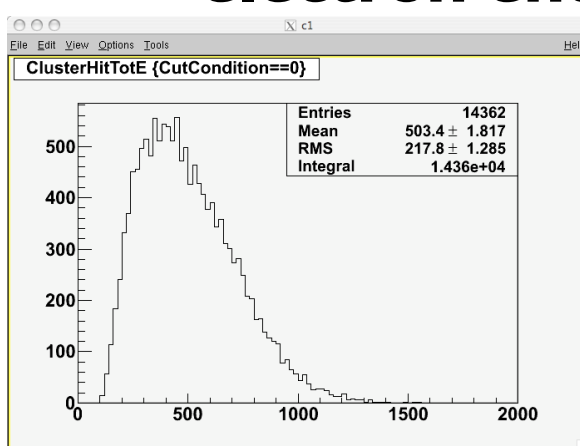
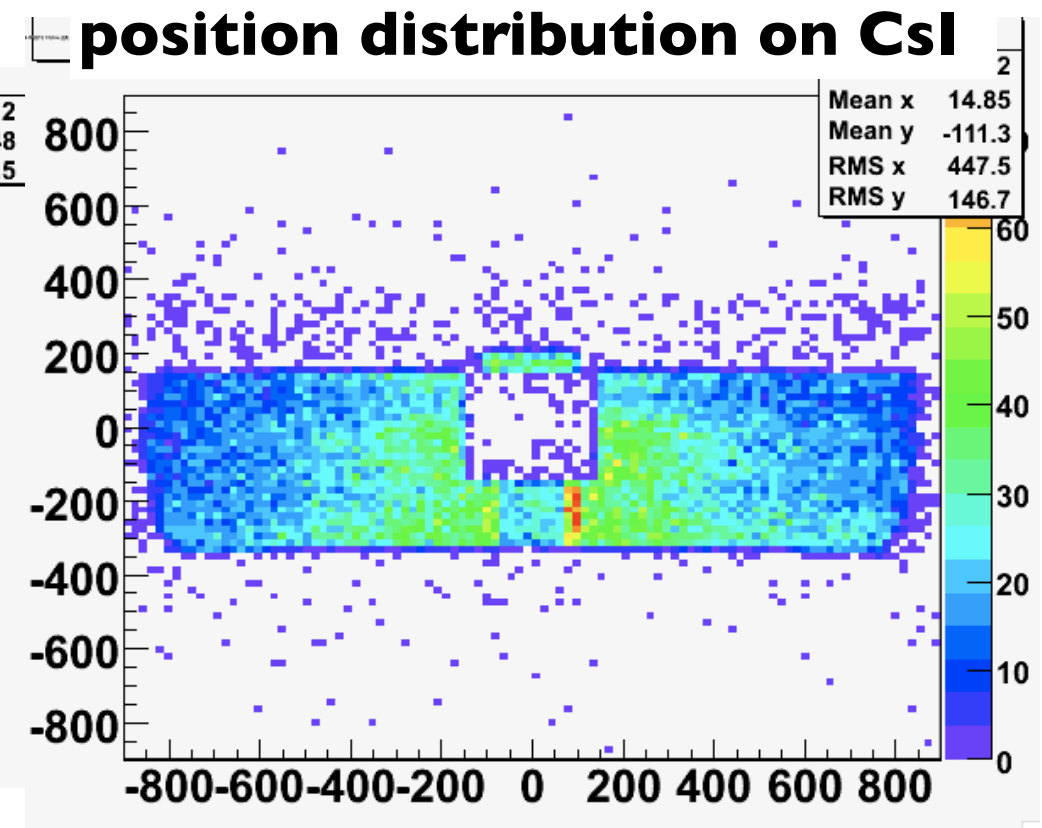
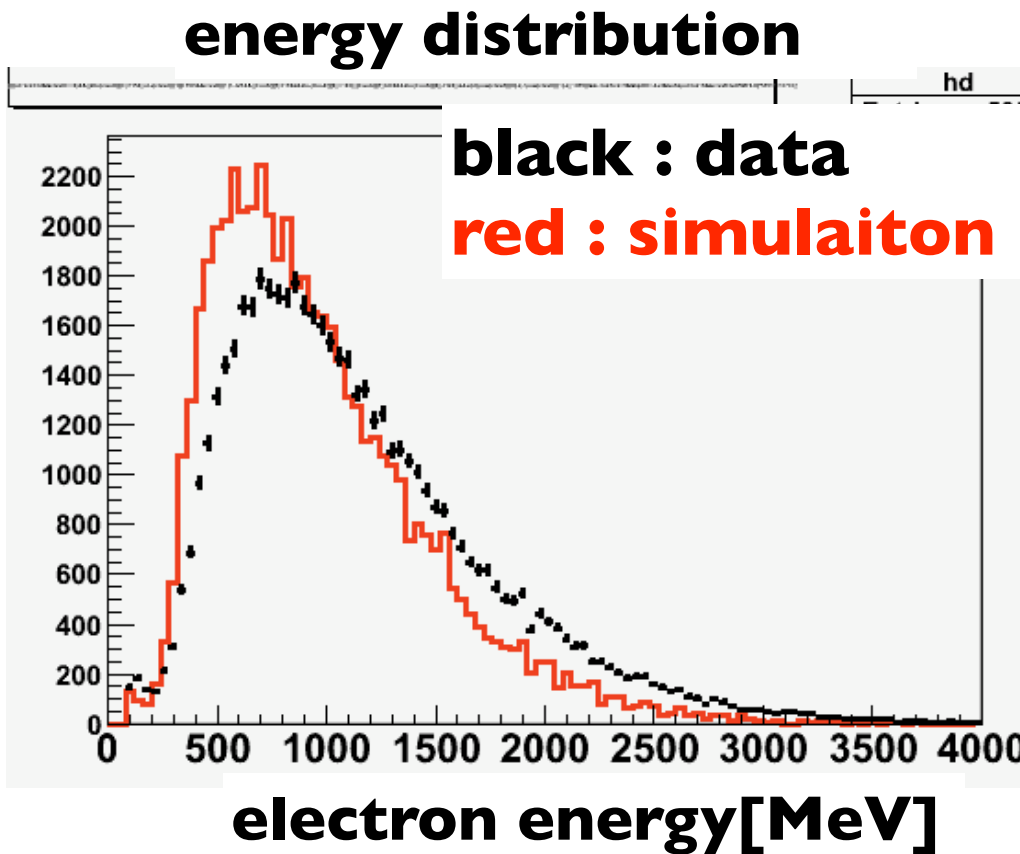
trigger

- scintillators were in front of CsI

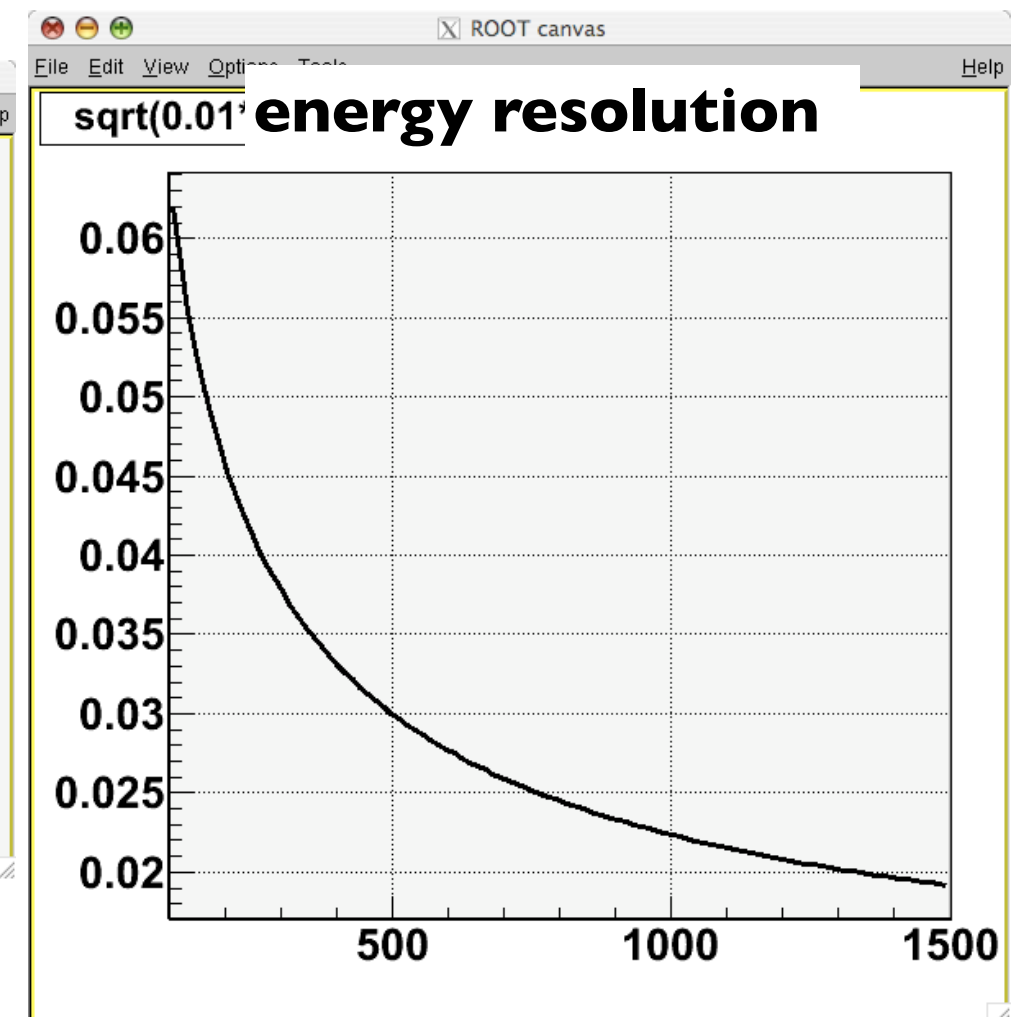
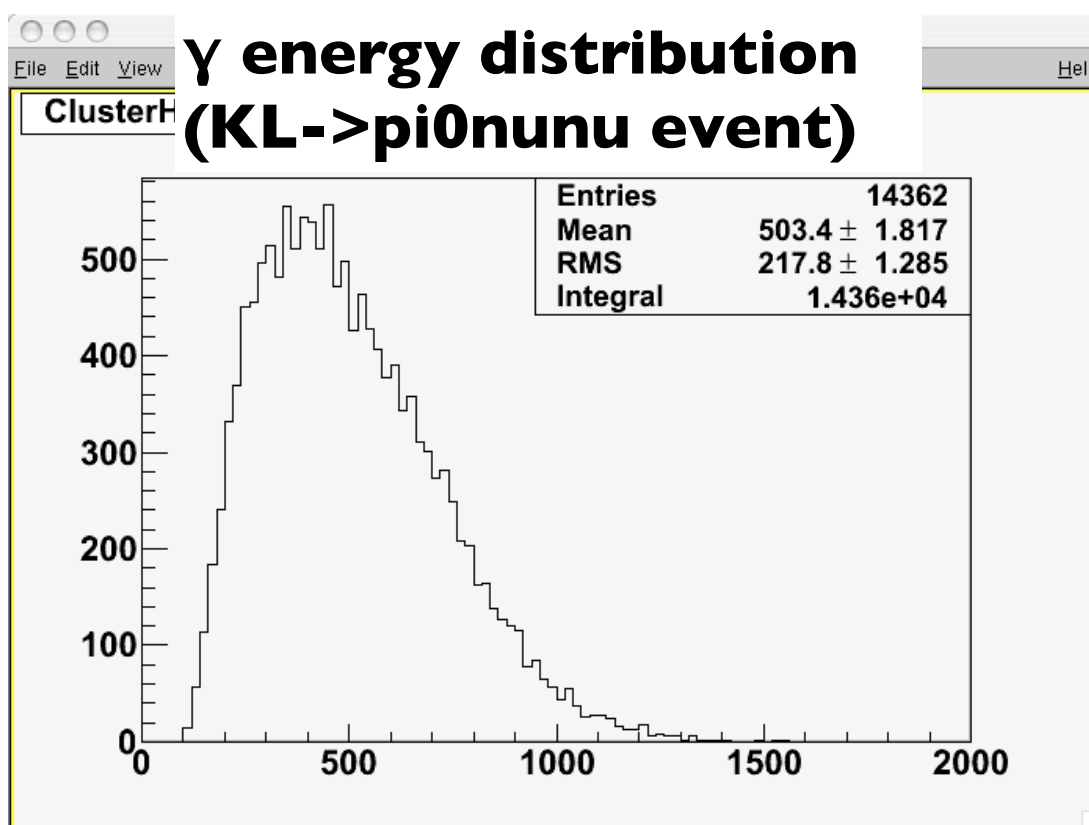


require hits in ≥ 2 parts to select 2 charged-track events

electron distribution



energy distribution and resolution of KL->pi0nunu event



electron position resolution

